

SVEUČILIŠTE U ZAGREBU  
PRIRODOSLOVNO-MATEMATIČKI FAKULTET  
FIZIČKI ODSJEK

Livio Žužić

Poluvodički dvodimenzionalni  $WS_2$ :  
od sinteze i karakterizacije do funkcionalizacije

Zagreb, 2024.

*Ovaj rad izrađen je u Centru za napredne laserske tehnike na Institutu za fiziku u Zagrebu pod vodstvom zvs. dr. sc. Nataše Vujičić i doc. dr. sc. Vedrana Đereka i predan je na natječaj za dodjelu Rektorove nagrade u akademskoj godini 2023./2024.*

# Sadržaj

<b>1 Uvod u temu</b>	<b>1</b>
<b>2 Teorijski uvod</b>	<b>3</b>
2.1 Dvodimenzionalni dihalkogenidi prijelaznih metala . . . . .	3
2.1.1 Kristalna struktura . . . . .	3
2.1.2 Struktura energetskih vrpci . . . . .	5
2.2 Optička svojstva . . . . .	6
2.2.1 Vibracije kristalne rešetke . . . . .	7
2.2.2 Ekscitoni . . . . .	9
2.2.3 Modifikacija optičkih svojstava . . . . .	11
2.3 Kratki pregled o sintezi 2D TMD-ova . . . . .	11
<b>3 Eksperimentalni postav i tehnike</b>	<b>14</b>
3.1 Kemijska depozicija para . . . . .	14
3.1.1 Geometrija peći . . . . .	14
3.1.2 Izbor kemikalija i priprema tekućih prekursora . . . . .	15
3.1.3 Sinteza . . . . .	15
3.2 Mikroskop atomskih sila . . . . .	16
3.3 Transmisijska elektronska mikroskopija . . . . .	17
3.4 Konfokalna mikroskopija . . . . .	19
3.4.1 Ramanova spektroskopija . . . . .	20
3.4.2 Fotoluminiscencija . . . . .	21
3.5 Optička mikroskopija . . . . .	21
3.6 Modifikacija optičkih svojstava adsorpcijom organskih molekula . . . . .	21
<b>4 Rezultati i diskusija</b>	<b>23</b>
4.1 Morfologija rasta . . . . .	23
4.2 Optički odziv . . . . .	27
4.2.1 Optički odziv jednoslojnog WS <sub>2</sub> . . . . .	29
4.2.2 Optički odziv dvoslojnog WS <sub>2</sub> . . . . .	34
4.3 Modifikacija optičkih svojstava . . . . .	39
<b>5 Zaključak</b>	<b>44</b>

<b>6 Sažetak</b>	<b>51</b>
<b>7 Summary</b>	<b>52</b>

# 1 Uvod u temu

Uz razne prilike omogućene informacijskim tehnologijama, napredak i sveprisutnost elektroničkih uređaja u svakodnevnom životu vođeni su kontinuiranim smanjivanjem silicijskih tranzistora [1]. Definirajući parametar veličine tranzistora je duljina upravljačke elektrode (eng. *gate*) te, za današnje komercijalne silicijske tranzistore, ona iznosi  $\sim 20$  nm. Smanjivanje silicijskih tranzistora ispod 5 nm nije moguće radi kvantomehaničkih efekata tuneliranja nosioca naboja preko nametnute potencijalne barijera, disipacije topline na malim skalama te samih nesavršenosti u atomskoj strukturi kristala [1, 2]. U svrhu zaobilaska dosegnutih granica sa silicijem kao materijalom, istraživanja su se okrenula u smjeru pronađaska novih materijala i novih metoda izrade tranzistora. Tranzistori bazirani na germaniju (Ge) ili spoju silicija - germanija (SiGe) neki su od kandidata za uređaje nove generacije, dok su modifikacije primjenom naprezanja i upotreba dielektrika upravljačkih elektroda visoke relativne permitivnosti  $\kappa$  neki od načina poboljšanja svojstva trenutnih tranzistora. Nanostrukture i materijali niskih dimenzija posljednjih su godina privukli veliku pozornost znanstvene zajednice pošto bi omogućili novu vrstu dizajna tranzistora i implementaciju novih fizikalnih koncepta [1].

Od svih predloženih opcija, grafen se pokazao kao najperspektivnije rješenje. Zahvaljujući svojim izvanrednim mehaničkim, električnim, optičkim i transportnim svojstvima, omogućio je nova fundamentalna i primjenjena istraživanja. Za njegovo su otkriće 2010. godine A. K. Geim i K. S. Novoselov dobili Nobelovu nagradu [1, 3]. Nosioci naboja (elektroni) ponašaju su kao bezmasne Diracove čestice što, zajedno s njihovom viskom mobilnošću, omogućava opažanje raznih kvantnih efekata na sobnoj temperaturi (npr. kvantni Hallov efekt) [3, 4]. Unatoč svim prilikama koje je grafen omogućio, nedostatak zabranjenog pojasa otežava njegovu primjenu u određene svrhe, npr. izradu logičkih sklopova. Grafenski tranzistori nemaju konvencionalno "uključeno" i "isključeno" stanje (eng. *on and off state*) te se ne mogu u potpunosti "isključiti", imaju više gubitaka energije i proizvode više topline. Različitim metodama moguće je stvoriti zabranjeni pojas energija modifikacijom materijala naprezanjem, no taj korak uvodi nove komplikacije u proizvodnju te može degradirati svojstva materijala [1]. Navedeni su nedostaci potaknuli znanstvenu zajednicu u potragu za alternativnim materijalima sličnih struktura i karakteristika [1].

Dihalkogenidi prijelaznih metala (eng. *Transition-Metal Dichalcogenides*, TMDs) grupa su poluvodičkih materijala za koje se pokazalo postojanje i mogućnost sinteze u dvodimenzionalnom (2D) obliku [5]. Trodimenzionalni (3D, eng. *bulk*) oblici TMD materijala sintetizirani su i istraživani još od 1970. godine [1], no pokazalo se da se svojstva 2D oblika veoma razlikuju od svojih 3D inačica što je rezultiralo obnovljenim interesom znanstvene zajednica za ovu grupu materijala [5]. Jedna od bitnijih razlika između 3D i 2D oblika TMD materijala jest prijelaz iz poluvodiča s indirektnim energetskim procijepom (3D oblik) u poluvodič s direktnim energetskim procijepom od 1 do 2 eV (2D oblik) što ih čini idealnim kandidatom za optoelektroničke uređaje, fleksibilnu elektroniku i kvantne tehnologije [5]. Istraživanja su pokazala da je, korištenjem jednoslojeva MoS<sub>2</sub> (TMD materijal) i jednoslojnih ugljikovih nanocjevčica, moguće proizvesti tranzistore s duljinom upravljačke diode od 1 nm [2]. U ovom čemu radu promatrati drugog predstavnika TMD grupe materijala, 2D WS<sub>2</sub> - od sinteze i karakterizacije do funkcionalizacije.

## 2 Teorijski uvod

### 2.1 Dvodimenzionalni dihalkogenidi prijelaznih metala

Unatoč stotinama predviđenih 2D materijala, radi inherentnih problema metoda sinteze, samo je mali broj istih eksperimentalno realiziran. TMD materijali skupina su materijala slojevite strukture kemijske formule  $MX_2$  gdje je M atom prijelaznog metala, a X halkogeni element (S ili Se), koji zauzimaju vrlo važno mjesto u grupi promotrenih 2D sustava [5, 6]. Najviše su proučavani TMD materijali koji sadrže elemente VI grupe (Mo i W) prvenstveno zbog njihove široke dostupnosti, no važnije, zato što su oni poluvodiči s direktnim energetskim procijepom [6].

Atomi su, u jednosloju TMD materijala, međusobno povezani jakim kovalentnim vezama, dok su sami slojevi međudobno povezani slabijim van der Waalsovim (vdW) vezama.

#### 2.1.1 Kristalna struktura

Kristalna struktura TMD materijala koji sadrže elemente grupe VI nešto je komplikiranija od klasične heksagonalne strukture grafena s dva atoma u bazi. Kako bismo lakše razumjeli raspored atoma u takvim sustavima promotrit ćemo jediničnu celiju od kojih su sami slojevi sastavljeni.

Općenito, tranzicijski metali  $n$ -te periode karakterizirani su popunjrenom  $ns$  ljudskom, djelomično popunjrenom  $(n-1)d$  ljudskom i praznom  $np$  ljudskom<sup>1</sup>. Prema teoriji hibridizacije atomske orbitala, atomi tranzicijskih metala, u kombinaciji s atomima halkogenih elemenata, mogu stvoriti  $d^2sp^3$  hibridne atomske orbitale što vodi na šesterostruku koordiniranu geometriju kovalentnih veza između jednog atoma prijelaznog metala i šest atoma halkogenog elementa. Ovo tvori oktaedarsku strukturu s atomom prijelaznog metala u centru i atomima halkogenih elemenata u vrhovima oktaedra kao što je prikazano na Slici 2.1 [a]. U slučaju kada se ova struktura rotira na način da su tri halkogena liganda u ravnini iznad atoma prijelaznog metala, a tri ispod, dobije se trigonalna prizmatična struktura.

Atomska konfiguracija koja se dobije slaganjem oktaedarskih jediničnih celija u

---

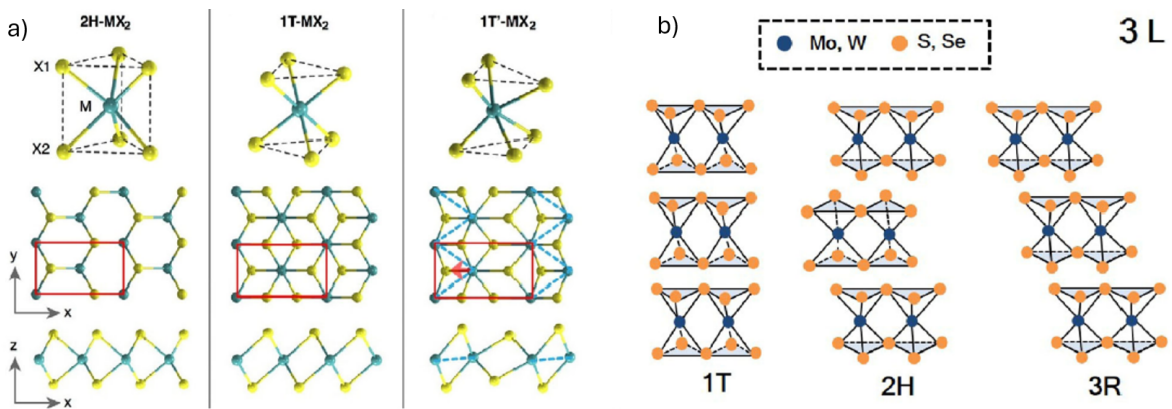
<sup>1</sup>Treba napomenuti, s obzirom na to da su energetska stanja  $ns$  i  $(n-1)d$  ljudsaka relativno bliska, postoji popriličan broj iznimaka tom pravilu - bakar, krom, rodij, molibden i volfram imaju samo jedan elektron, dok paladij nema s elektrone.

ravnini naziva se 1T-faza. Iako rijetko, moguće je da se ova faza pojavi u određenim *bulk* TMD materijalima, no pokazalo se da je ova faza općenito nestabilna za materijale koje sadrže elemente VI grupe bez nekih vanjskih stabilizacijskih faktora. Umjesto toga, kristalna se rešetka distorzira tako da smanji konfiguracijsku energiju jednosloja TMD materijala. Ovakva se atomska konfiguracija reducirane simetrije obilježava 1T'-faza<sup>2</sup> (Slika 2.1 [a]).

Daljnje se snižavanje energije atomske konfiguracije kristalne rešetke postiže rotacijom jednog halkogenog sloja 1T-faze za  $180^\circ$  tako da su atomi halkogenog elementa gornjeg sloja točno iznad atoma donjeg sloja. Ovo je ekvivalentno atomskoj konfiguraciji dobivenoj slaganjem trigonalnih prizmatičnih jediničnih celija u ravnini te se ova konfiguracija naziva 2H-faza (Slika 2.1 [a]). Treba napomenuti da je razlika energija između 1T' i 2H faze manja za teže elemente te da halkogeni elementi imaju veći efekt.

Kod slaganja više slojeva, osim 1T i 2H, postoji i 3R faza (Slika 2.1 [b]). Razlike između 2H i 3R faza počinju s dvoslojem (jednoslojevi 2H i 3R faza su isti). Osim pomaka slojeva koji se pojavljuje u oba slučaja (kojeg nema kod 1T faze), za razliku od 3R, n-ti je sloj 2H faze dodatno rotiran za  $180^\circ$  naspram (n-1)-og sloja.

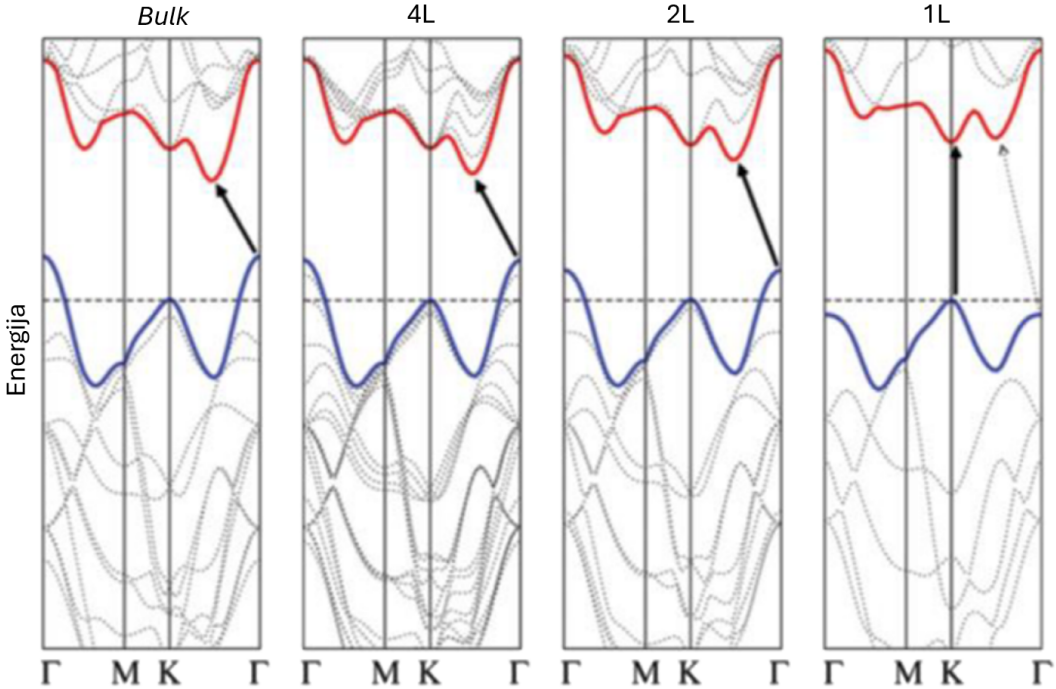
Razlika između oktaedarske i trigonalne prizmatične strukture nije samo akademski prirode. Pokazalo se da 1T polimorfi posjeduju metalna svojstva, dok su 2H polimorfi poluvodičke prirode [6, 7].



Slika 2.1: Strukturalni polimorfi MX<sub>2</sub> (M = Mo, W; X = S, Se). a) Shematski prikaz 2H, 1T i 1T' faza jednosloja MX<sub>2</sub>. b) Usporedba troslojnog slaganja 1T, 2H i 3R faza MX<sub>2</sub> [8].

<sup>2</sup>Iako se smanji konfiguracijska energija jednosloja, ovo je minimalna konfiguracijska energija samo za WTe<sub>2</sub>.

### 2.1.2 Struktura energetskih vrpci



Slika 2.2: Prikaz strukture energetskih vrpci TMD materijala za *bulk*, četverosloj (4L), dvosloj (2L) i jednosloj (1L) [9].

Struktura energetskih vrpci ovisi o rasporedu atoma u kristalnoj rešetci te će se, s obzirom na to da je kristalna struktura 2D TMD materijala nešto kompleksija od kristalne strukture grafena, ta kompleksnost preslikati i na strukturu energetskih vrpci. Dok je za grafen moguće dobiti općenito prihvatljiv rezultat aproksimacijom čvrste veze (eng. *Tight-Binding Approximation*, TBA) uvezši u obzir samo utjecaj prvih susjeda, za 2D TMD materijale TBA modeli sadrže puno više parametara preskoka između preklopjenih orbitala (radi kompleksnije orbitalne kompozicije energetskih vrpci i većeg broja relevantnijih orbitala u usporedbi s grafenom). To ih čini pogodnijim za numerička istraživanja nego za analitički opis promatranih fenomena.

Zahvaljujući svojoj heksagonalnom strukturi s dva atoma u bazi (atom prijelaznog metala i atom halkogenog elementa), za jednoslojeve 2H-TMD materijala oblik 1. Brillouinove zone je također heksagonalan. Promotrimo li jednosloj (1L) na Slici 2.2, vidimo da se maksimum valentne vrpce i minimum vodljive vrpce nalaze na rubu Brillouinove zone oko točke K. Prostorna raspodjela veza u 2D TMD materijalu praćena je miješanom orbitalnom kompozicijom u energetskim vrpccima, odnosno, strukture valentne i vodljive vrpce opisane su kompozicijom  $d$  orbitala atoma prijelaznog metala i  $p_x$  i  $p_y$  orbitala halkogenog atoma, gdje dominiraju  $d$  orbitale.

Kao i svako drugo svojstvo višeslojnih materijala, struktura se vrpci mijenja u ovisnosti o broju slojeva. U slučaju 2D TMD materijala, jednoslojevi su poluvodiči s direktnim energetskim procijepom, dok su dvosloji (i sve iznad njih) poluvodiči s indirektnim energetskim procijepom. Promotrimo li Sliku 2.2 vidimo da, povećavanjem broja slojeva, lokalni maksimum valentne vrpce u točki  $\Gamma$  postane globalni maksimum te da se lokalni minimum vodljive vrpce između točke  $\Gamma$  i  $K$  pomakne na niže energije. Konačni je rezultat promjena iz poluvodiča s direktnim energetskim procijepom za jednoslojeve u poluvodiče s indirektnim energetskim procijepom *bulk* TMD materijale [6].

## 2.2 Optička svojstva

Poznato je da je svjetlost istovremeno elektromagnetski val i čestica. S obzirom na to, u dizajnu novih materijala i struktura određenih optičkih svojstava, potrebno uzeti u obzir valnu duljinu i energijsku skalu karakterizirajućeg elektromagnetskog vala i fotona. Valna se duljina  $\lambda$  za vidljivu svjetlost u vakuumu kreće od 400 nm do 700 nm te, iz Planckove relacije  $E = hc/\lambda$  (gdje je  $h$  Planckova konstanta, a  $c$  brzina svjetlosti), slijedi da je energija asociranih fotona u rasponu od 1.8 eV do 3.1 eV. Općenito, jakost međuinterakcije svjetlosti i materije ovisi o nekoliko čimbenika:

- svojstvima materijala - geometriji, volumenu, elektronskoj strukturi, gustoći elektrona i kemijskoj kompoziciji
- svojstvima svjetla - frekvenciji i intenzitetu
- svojstvima konfiguracije međuinterakcije - kutu upada svjetlosti na uzorak, relativnim fazama reflektiranih/transmitiranih komponenti prilikom interakcije više tijela (npr. uzorka na supstratu) te dodatnim vanjskim uvjetima

Interakcijom svjetlosti i materije moguće je proučavati optički odziv određenog materijala što nam daje uvid u strukturu (npr. broj slojeva) i optička svojstva (npr. vibracijske modove ili širinu energetskog procijepa) kristalne rešetke materijala kojeg želimo istražiti [10].

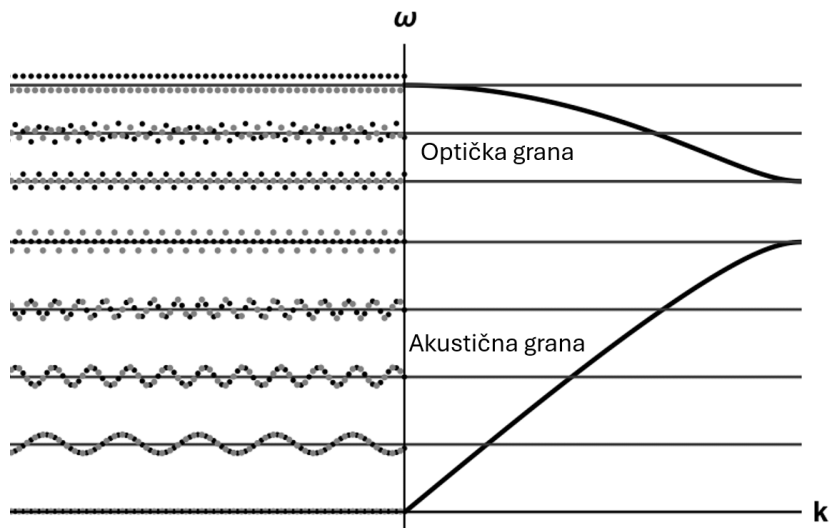
### 2.2.1 Vibracije kristalne rešetke

Fonon je minimalna kolektivna pobuda kristalne rešetke, odnosno kvant vibracijskih modova interagirajućih čestica.

Zamislimo li beskonačan 1D kristal kao lanac s dva atoma u bazi s masama  $m_1$  i  $m_2$  koje su međusobno povezane oprugama konstante elastičnosti  $K$  te udaljene za neku vrijednost  $a$ , disperzijska relacija glasi:

$$\omega_{\pm}^2(k) = K\left(\frac{1}{m_1} + \frac{1}{m_2}\right) \pm K\sqrt{\left(\frac{1}{m_1} + \frac{1}{m_2}\right)^2 - \frac{4\sin^2(ka/2)}{m_1 m_2}} \quad (2.1)$$

gdje je  $k$  valni vektor u recipročnom prostoru za koji vrijedi  $k = 2\pi/\lambda$  [11]. Dobiveni su tzv. optički mod  $\omega_+^2$ , gdje se susjedni atomi gibaju u protufazi, i akustičan mod  $\omega_-^2$ , gdje se susjedni atomi gibaju u fazi (Slika 2.3). 3D kristal s  $p \geq 2$  različitih atoma u bazi primitivne čelije imat će 3 akustične mode (jedan longitudinalni i dva transverzalna akustična moda) i  $3(p - 1)$  optička mode. Ovi se modovi još nazivaju i granama fononske disperzije [11].



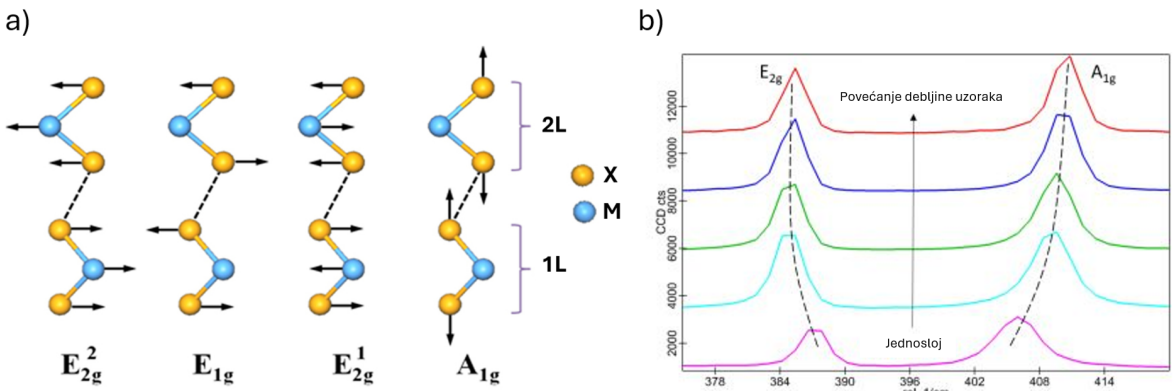
Slika 2.3: Prikaz vibracijskih modova (lijevo) i disperzije (desno) za 1D kristal s dva atoma u bazi [12].

Primitivna se čelija jednog sloja 2H-MX<sub>2</sub> sastoji od 2 atoma prijelaznog metala i 4 halkogena atoma<sup>3</sup> što vodi na 3 akustične i 15 optičkih fononskih grana. Ireducibilna reprezentacija fononskih centara Brillouinove zone 3D 2H-MX<sub>2</sub> (M = Mo, W; X = S, Se) glasi:

<sup>3</sup>Različito od jedinične čelije koja sadrži 1 atom prijelaznog metala i 6 halkogenih atoma.

$$\Gamma = A_{1g} + 2A_{2u} + B_{1u} + 2B_{2g} + E_{1g} + 2E_{1u} + E_{2u} + 2E_{2g} \quad (2.2)$$

gdje  $E$  modovi predstavljaju dvostruko degenerirane vibracijske modove unutar ravnine sloja, a  $A$  i  $B$  modovi predstavljaju vibracijske modove izvan ravnine sloja. Od navedenih se modova jedan par  $A_{2u}$  i  $E_{1u}$  svrstava pod akustične, a drugi pod infracrvene modove,  $B_{1u}$ ,  $B_{2g}^1$ ,  $B_{2g}^2$ ,  $E_{2u}$  su optički neaktivni, dok su  $A_{1g}$ ,  $E_{1g}$ ,  $E_{2g}^1$  i  $E_{2g}^2$  Raman aktivni modovi (Slika 2.4 [a]) [7, 13].



Slika 2.4: a) Shematski prikaz Raman aktivnih modova za jednosloj (1L) i dvosloj (2L) MX<sub>2</sub> (M = Mo, W; X = S, Se) [14]. b) Pomak u frekvenciji E<sub>2g</sub><sup>1</sup> i A<sub>1g</sub> promjenom debljine promatranog uzorka [15].

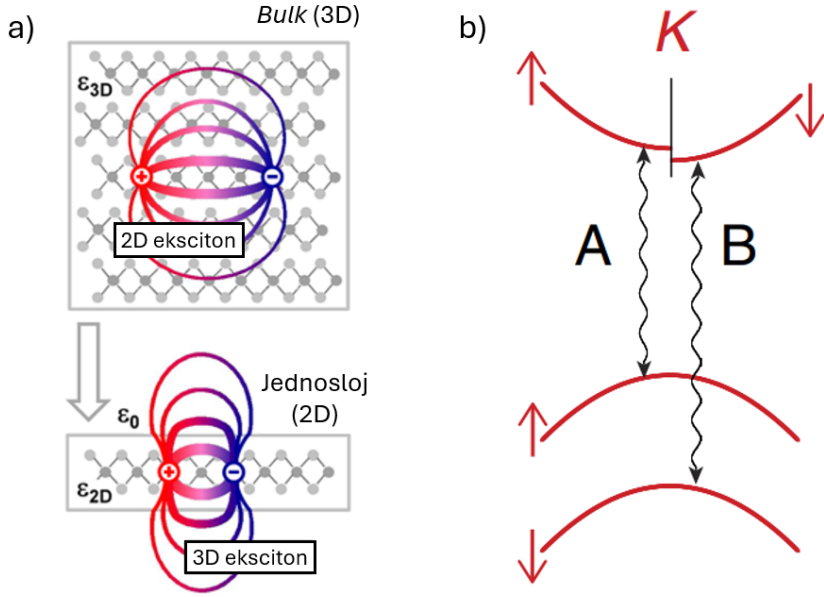
Prilikom razmatranja uzorka različite debljine potrebno je također uzeti u obzir i razliku u simetriji uzorka s parnim i neparnim brojem slojeva. Poznato je da, prilikom povećanja broja slojeva, A<sub>1g</sub> mod ima pomak u plavo (eng. *stiffening*), dok E<sub>2g</sub><sup>1</sup> mod ima pomak u crveno (eng. *softening*) [7], kao što je prikazano na Slici 2.4 [b]. Pomak u plavo A<sub>1g</sub> moda objašnjava se potiskivanjem vibracija izvan sloja vdW silama između slojeva, dok se pomak u crveno E<sub>2g</sub><sup>1</sup> objašnjava strukturalnim promjenama ili povećanjem dugodosežne Coulombove sile u interakciji između slojeva [16]. Povećanjem broja slojeva dolazi i do smanjenja pripadnih FWHM (eng. *Full-Width at Half-Maximum*) oba moda [7, 16]. Mjereći razliku frekvencija između A<sub>1g</sub> i E<sub>2g</sub><sup>1</sup> moguće je odrediti debljinu MX<sub>2</sub> uzorka (do cca 6 slojeva)<sup>4</sup> (Slika 2.4 [b]). Osim na debljinu uzorka, Ramanovi su modovi osjetljivi i na naprezanje (eng. *strain*) materijala<sup>5</sup>, utjecaj dopiranja te različite substrate na kojima su uzorci sintetizirani<sup>6</sup> [16].

<sup>4</sup>Treba spomenuti da su Ramanovi modovi WS<sub>2</sub> manje osjetljivi na broj slojeva od MoS<sub>2</sub> [16].

<sup>5</sup>Kod jednosloja MoS<sub>2</sub> uočava se pomak u crveno E<sub>2g</sub><sup>1</sup> moda s povećanjem naprezanja te cijepanje vrha na dva vrha prilikom uniaksijalnog naprezanja do ~1%.

<sup>6</sup>Promjena se događa kod A<sub>1g</sub>, dok E<sub>2g</sub><sup>1</sup> ostaje nepromijenjen.

## 2.2.2 Ekscitonи



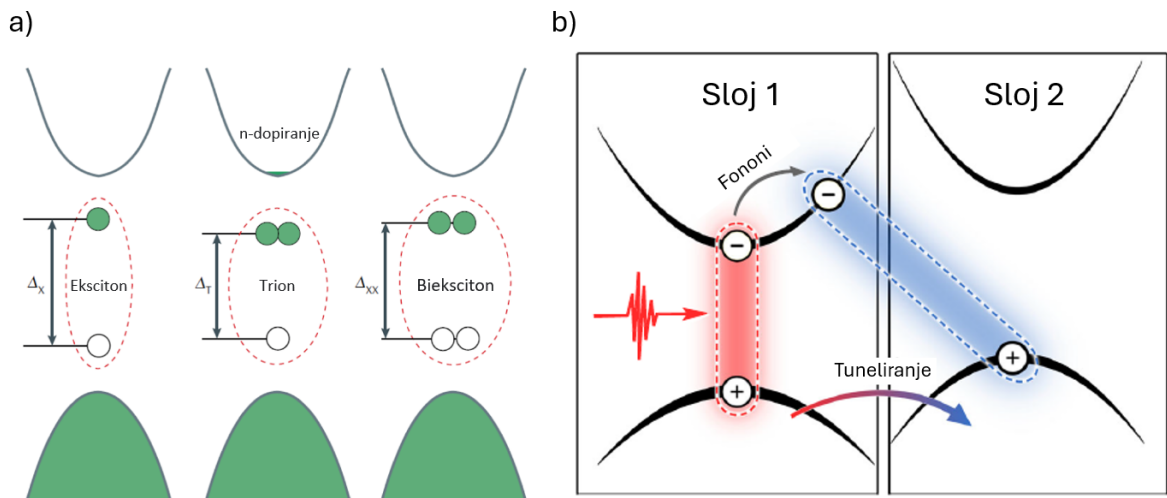
Slika 2.5: a) Prostorna reprezentacija formacije ekscitona u 3D i 2D slučaju [17]. b) Prikaz prijelaza A i B ekscitona u K točki 1. Brillouinove zone. Radi kompletnosti, prikazano je i spin-orbit cijepanje vodljive vrpce, iako je ono zanemarivo u usporedbi s spin-orbit cijepanjem valentne vrpce (uz iznimke, npr.  $WS_2$ ). [18].

Prilikom vanjske pobude materijala (npr. fotopobudom pomoću lasera) dolazi do prelaska elektrona iz valentne u vodljivu vrpcu te stvaranja pozitivno nabijene šupljine u valentnoj vrpci. Vezano stanje koje nastane interakcijom elektrona i šupljine Coulombovom silom nazivamo eksciton. Drugim riječima, eksciton je neutralna kvazičestica koja se pojavljuje u izolatorima, poluvodičima, određenim metalima, molekulama i tekućinama te se smatra elementarnom pobudom koja može transportirati energiju bez transporta ukupnog električnog naboja [5, 19].

Ekscitonи se općenito tretiraju u dva granična slučaja: ekscitonи malog radijusa ili jako vezani ekscitonи (Frenkelovi ekscitonи), gdje su udaljenosti između elektrona i šupljina usporedive s međuatomskim udaljenostima u kristalnoj rešetci, i ekscitonи velikog radijusa ili slobodni ekscitonи (Wannier-Mott ekscitonи), gdje su relativne udaljenosti elektrona i šupljina znatno veće od međuatomskih udaljenosti. Frenkelovi se ekscitonи pojavljuju u izolatorima i molekularnim kristalima, dok se Wannier-Mott ekscitonи uglavnom opažaju kod poluvodiča [19]. Kod 2D materijala, smanjena dimenzionalnost sustava podiže energiju vezanja elektrona i šupljine što rezultira smanjenjem radijusa Wannier-Mott ekscitona. Drugim riječima, u 2D materijalima ekscitonski su efekti znatno pojačani te ih možemo uočiti i na sobnim temperaturama [17].

(Slika 2.5 [a]).

Ekscitonske emisijske linije odgovaraju rekombinaciji elektrona i šupljina, pri čemu dolazi do emitiranja fotona. Emisijske linije pripisujemo optičkoj tranziciji između najviše točke valentne vrpce i najniže točke vodljive vrpce (K-točke 1. Brillouinove zone). Uslijed spin-orbit vezanja dolazi do cijepanja obje vrpce što vodi na postojanje dva distinktna prijelaza. Emisijsku liniju pridruženu prijelazu u više stanje valentne vrpce nazivamo A eksciton, dok emisijsku liniju pridruženu prijelazu u niže stanje valentne vrpce nazivamo B eksciton (Slika 2.5 [b]). Položaji ovih ekscitona variraju ovisno o kvaliteti i debljini uzorka. Mali omjer intenziteta B/A indikator je uzorka visoke kvalitete s malim udjelom defekata [20]. Iako inače zanemarivo, kod WS<sub>2</sub> je cijepanje vodljive vrpce dovoljno izraženo, što zajedno s jačim cijepanjem valentne vrpce rezultira potisnućem emisije B ekscitona.



Slika 2.6: a) Shematski prikaz ekscitona, triona i biekscitona [21]. b) Shematski prikaz međuslojnog ekscitona [5].

Osim ekscitona, u 2D materijalima opažamo i druge kvazičestične pobude poput triona, biekscitona, međuslojnih ekscitona itd.

Trion je vezano stanje tri čestice. Negativno nabijeni trion sastoji se od dva elektrona i šupljine, dok se pozitivno nabijeni trion sastoji od dvije šupljine i jednog elektrona. Drugim riječima, trion možemo gledati kao vezano stanje ekscitona i elektrona/šupljine (Slika 2.6 [a]). Energija vezanja triona manja je od energije vezanja ekscitona zato što je dipol - elektron/šupljina interakcija puno slabija od interakcije elektron - šupljina. Treba napomenuti da trioni mogu biti dobar pokazatelj dopiranja samog uzorka.

Bieksciton je vezano stanje dva elektrona i dviju šupljina, odnosno, bieksciton

možemo promatrati kao vezano stanje dva ekscitona (Slika 2.6 [a]). Energija vezanja biekscitona manja je energije vezanja triona zato što je dipol - dipol interakcija slabija od dipol - elektron/šupljina interakcija [22].

U slučaju kada imamo višeslojne 2D materijale (npr. dva sloja), zahvaljujući jakoj Coulombovoj interakciji, moguća je formacija međuslojnog ekscitona gdje se elektron nalazi u jednom sloju, a šupljina u drugom, kao što je prikazano na Slici 2.6 [b]. Nakon optičke pobude ekscitona unutar jednog sloja, postoji vjerojatnost da dođe do tuneliranja elektrona ili šupljina u drugi sloj, što dovodi do formiranja međuslojnog ekscitona [5].

### 2.2.3 Modifikacija optičkih svojstava

Kao što je već spomenuto, 2D materijali su se pokazali kao vrlo obećavajuća grupa materijala zbog svojih odličnih optoelektroničkih svojstava. Iako izvediva, njihova je šira primjena kočena izrazitom osjetljivosti na defekte koja je rezultat njihovih inherentnih svojstava, debljini na atomskoj skali i velikoj površini [23]. To predstavlja bitan problem zato što većina korištenih tehnika za podešavanje optičkih svojstava 2D materijala uvodi razne defekte u sustav. Neovisno o tome, njihova velika površina otvara nove mogućnosti modificiranja optičkih svojstava drugačijim metodama. Jedna od njih je adsorpcija organskih molekula različitih geometrija i/ili različitih funkcionalnih grupa što predstavlja jednostavnu mogućnost podešavanja optičkih svojstava 2D materijala [24].

## 2.3 Kratki pregled o sintezi 2D TMD-ova

U prirodi nije moguće pronaći izolirane jednoslojeve i višeslojeve materijale. S obzirom na to, kroz godine su se razvile različite tehnike sinteze koje općenito dijelimo u dvije kategorije: tzv. *top down* i *bottom up*.

*Top down* metode sastoje se od izoliranja 2D jednoslojeva ili višeslojeva od njihovih *bulk* oblika. Postoje dvije osnovne strategije: mehanička eksfolijacija upotreborom ljepljive trake<sup>7</sup> i eksfolijacija iz tekuće faze, koja se dodatno može podijeliti na metodu interkalacije litija i sonifikacije potpomognute otapalom. S obzirom na to da je većina TMD materijala dostupna u cjelovitoj, *bulk*, formi (pogotovo MoS<sub>2</sub>, MoSe<sub>2</sub>,

---

<sup>7</sup>Ovom je metodom prvi put sintetiziran grafen 2004. god. [3].

$\text{WS}_2$  i  $\text{WSe}_2$ ), pokazala se mogućnost proizvodnje kvalitetnih, visoko kristaliničnih jednoslojeva veličine oko  $10 \mu\text{m}$  metodom mehaničke eksfolijacije upotrebom ljepljive trake. Problem ove metode je težina povećanja proizvodnje na industrijske skale te limitiranost samog prinosa. TMD materijale moguće je još eksfolirati iz tekuće faze ultrazvučnim tretmanom uz korištenje prigodnih otapala. Ova metoda rezultira kristalnim otocima veličine oko 100 nm. Nešto bolja metoda je korištenje spojeva koji sadrže litiji koji se interkaliraju između atomskih slojeva koji se, nakon reakcije s vodom, razdvoje uslijed stvaranja plinovitog  $\text{H}_2$ . Problem eksfolijacije iz tekuće faze je što rezultira otocima malih lateralnih dimenzija (što limitira njihovu upotrebljivost u određene svrhe) i mali prinos jednoslojeva (s obzirom na to da je većina otoka višeslojna).

*Bottom up* pristup sastoji se kretanja od konstitutivnih elemenata u svrhu uspostave kontrolirane sinteze nanoslojeva na površini odabranog supstrata. Većina predloženih tehnika koristi jedan ili dva elementa (prijezni metal i/ili halkogeni element) u plinovitom obliku koji se, uz pomoć inertnog plina, kontrolirano transportiraju preko odabranog substrata. Kroz optimizaciju dinamike toka postignutu dizajnom peći i cijevi, moguće je, na homogen način, prenijeti prekursor sve do supstrata. Ovakav pristup u principu omogućava postizanje zadovoljavajuće kontrole broja slojeva i kvalitete kristala. Kemijska depozicija para (eng. *Chemical Vapor Deposition*, CVD) široko je korištena tehnika u istraživanju i sintezi različitih materijala. Često se koristi za dobivanje velike klase poluvodičkih materijala, metala, oksida i sl. na širokom rasponu različitih supstrata. Ovisno o određenom postavu, moguće je precizno kontrolirati tok transportnog plina što osigurava efektivan i homogen prijenos elemenata, jednostavnu mogućnost sinteze na velikoj skali i odličnu reproducibilnost. Depozicija atomskih slojeva (eng. *Atomic Layer Deposition*, ALD) modificirana je CVD tehnika u kojoj se dva prekursorsa odvojeno dovode u peć za rast. Tehnika je originalno korištena za depoziciju tankih ZnS filmova, no danas se pretežito koristi za rast različitih oksidnih materijala, konformnu depoziciju na različite nanostrukture, substrate s uzorcima, rovovske ili stupčaste strukture i sl. ALD tehnika nije raširena za sintezu 2D TMD materijala zbog nedostatka istraživanja kemijskih procesa koji se događaju prilikom ovakvog tipa sinteze. Iako postoje brojne, komplikirane, tehnike koje nude puno veću kontrolu čistoće uzoraka i kontrolu parametara sinteze (npr. epitaksija molekularnim snopom u ultra visokom vakuumu), CVD sinteza na

atmosferskom tlaku ostaje kao jedna od najperspektivnijih tehnika sinteze 2D TMD radi svoje jednostavnosti, niske cijene te velikog prinosa uzoraka velikih lateralnih dimenzija [1]. Više o CVD bit će riječ u narednom poglavljju.

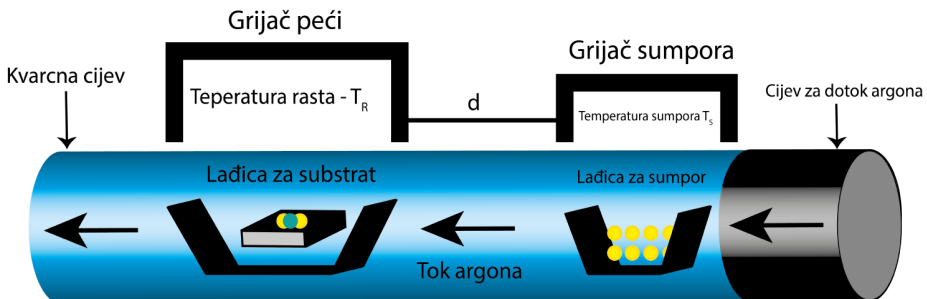
### 3 Eksperimentalni postav i tehnike

#### 3.1 Kemijska depozicija para

Kao što je već spomenuto, CVD tehnika zasniva se na depoziciji konstitutivnih elemenata (reaktanata) u plinovitom obliku na odabrani supstrat. Kod sinteze 2D TMD materijala, CVD se tehnika koristi s ciljem precizne kontrole broja slojeva i kvalitete dobivenih uzoraka. Mnogi su koraci i parametri prilikom CVD sinteze međuvisni, stoga je potrebno pomno izabrati koje parametre ima smisla varirati, a koje je potrebno fiksirati.

U ovom radu promatramo 2D uzorke  $WS_2$  sintetizirane CVD tehnikom na atmosferskom tlaku upotrebom različitih koncentracija prekursora gdje su svi ostali parametri sinteze isti. Ovaj se dio oslanja na prijašnja istraživanja utjecaja parametara sinteze na rast 2D  $MoS_2$  uzorka [25, 26].

##### 3.1.1 Geometrija peći



Slika 3.1: Shematski prikaz korištene CVD peći [25].

Na Slici 3.1 vidimo shematski prikaz korištenog CVD postava. Korištena je peć model tvrtke Carbolite.

Budući da se tijekom sinteze postignu vrlo visoke temperature ( $850^{\circ}C$ ), potrebno je koristiti kvarcne cijevi i kvarcne lađice. Promjer glavne kvarcne cijevi je 20 mm. Kako bismo doveli uzorak do centra peći, gdje se nalazi zona konstantne temperature, uzorak se stavlja u lađicu koja je zavarena na manju cjevčicu na čijem se vrhu (unutar cjevčice) nalazi termočlanak. Na ovaj je način moguće mjeriti temperaturu unutar peći odmah pokraj uzorka. Izvan peći vidimo lađicu sa sumporom koja ima svoj poseban grijajući i termočlanak koji su neovisni o peći. Grijajući element za sumpor udaljen je od peći za 50 mm. Posebnu pozornost treba pridijeliti udaljenosti grijajućeg elementa od peći.

peći. U slučaju da su predaleko, moguća je formacija hladne zone u dijelu kvarcne cijevi između grijajućeg sumpora i peći, što može dovesti do kondenzacije sumporovih para i kontaminacije peći. Također, u slučaju da su preblizu, moguće je da se, konvekcijom, sumpor zagrije na višu temperaturu od zadane, što može rezultirati nekontroliranom ili neuspješnom sintezom. Željene se temperature zadaju i održavaju proporcionalno-integralno-derivacijskim (PID) regulatorom.

Kao što vidimo na Slici 3.1, cijev za dotok argona direktno je spojena na kvarcnu cijev. Smjer toka argona je takav da argon prvo nalijeće na lađicu sa sumporom te poslije na lađicu s uzorkom. Na ovaj se način pare sumpora prenesu u struji inertnog plina preko supstrata na koji je prije nanesena otopina različitih koncentracija TMD prekursora, gdje se događa sinteza željenog materijala.

### 3.1.2 Izbor kemikalija i priprema tekućih prekursora

Za sintezu 2D WS<sub>2</sub> potrebna su nam dva prekursora - izvor volframa i izvor sumpora. Relativni omjeri, koncentracije, agregatna stanja i čistoće korištenih kemikalija igraju bitnu ulogu u sintezi materijala. U ovom smo se istraživanju odlučili za tekući volframov prekursor, koji se kapa na željeni supstrat prije njegovog ubacivanja u peć, i kruti sumporov prekursor (99.9995% Alfa Aesar), koji se cijelo vrijeme nalazi u lađici unutar peći.

Za pripremu tekućeg volframovog prekursora, koristili smo deioniziranu (DI) vodenu otopinu amonijevog metavolframat hidrata (AMT<sup>8</sup>), (NH<sub>4</sub>)<sub>6</sub>H<sub>2</sub>W<sub>12</sub>O<sub>40</sub>·H<sub>2</sub>O (99.99% Sigma Aldrich), koju smo pomiješali s DI vodenom otopinom natrijevog hidroksida, NaOH (min. 99% Gram-Mol), u jednakim omjerima. AMT služi kao izvor volframa, dok prisutnost natrija iz NaOH promovira lateralni rast otoka (promotor rasta). Odlučili smo se za dvije kombinacije koncentracija, 75 ppm AMT uz 5 ppm NaOH i 100 ppm AMT uz 5 ppm NaOH, koje su pružale optimalnu gustoću, morfologiju i veličinu otoka.

### 3.1.3 Sinteza

Prvi je korak čišćenje supstrata argonom pod tlakom, čime uklanjamo čestice prašine i ostale krupnije nečistoće. Supstrat se zatim čisti kisikovom plazmom 10

---

<sup>8</sup>eng. Ammonium metatungstate hydrate.

min, čime uklanjamo potencijalne organske naslage i povećamo hidrofilnost površine supstrata (u interakciji s kisikovom plazmom površina se nabije). Drugi je korak kašanje  $10\mu\text{L}$  prekursora odabranih koncentracija AMT i NaOH na očišćeni supstrat i sušenje na *hotplate*-u na  $120^\circ\text{C}$ . Povećanje hidrofilnosti površine nakon čišćenja kisikovom plazmom omogućuje uniformnije i tanje pokrivanje supstrata tekućim prekursorom. U svrhe sinteze 2D WS<sub>2</sub> korišten je Si/SiO<sub>2</sub> supstrat (Si podloga s 300 nm debelim slojem SiO<sub>2</sub>).

Uzorak ubacujemo u već zagrijanu peć ( $500^\circ\text{C}$ ) u kojoj je konstantan tok argona (200 sccm) te puštamo da se sustav ponovno termalizira nakon otvaranja (sumpor je na sobnoj temperaturi). Nakon termalizacije slijedi *purge* od 10 min (parametri su i dalje isti), čiji je cilj čišćenje sustava od mogućih nečistoća koje su mogle ući prilikom ubacivanja uzorka i/ili nečistoća koje su ostale na uzorku. Nakon toga, temperaturu peći podižemo na  $850^\circ\text{C}$ , temperaturu grijачa sumpora na  $140^\circ\text{C}$  te tok argona spuštamo na 100 sccm. U trenutku kada obje temperature dostignu zadalu vrijednost, tok argona spuštamo na 75 sccm i sustav puštamo 5 min na zadanim parametrima. Nakon 5 min, gasimo grijache peći i sumpora, tok argona spuštamo na 50 sccm i peć naglo hladimo komprimiranim zrakom dok temperatura ne padne na  $775^\circ\text{C}$ . Zatim gasimo tok argona i čekamo da se peć ohladi do  $500^\circ\text{C}$ . Kada se peć ohladila, vadimo uzorak iz peći.

Sistematicnim vađenjem uzorka iz peći nakon svake promijene parametra, utvrdili smo da prilikom 5 min na  $850^\circ\text{C}$  dolazi do djelomične aktivacije centara nuklearacije te da se najveći dio sinteze događa prilikom naglog hlađenja sustava od  $850^\circ\text{C}$  do  $775^\circ\text{C}$ . Također, primjetili smo veliki utjecaj toka argona prilikom faze naglog hlađenja. Kada je tok argona bio manji, rast je bio mnogo gušći i debljina uzorka veća te kada je tok argona bio veći, rast je bio znatno rjeđi i debljina uzorka manja.

### 3.2 Mikroskop atomskih sila

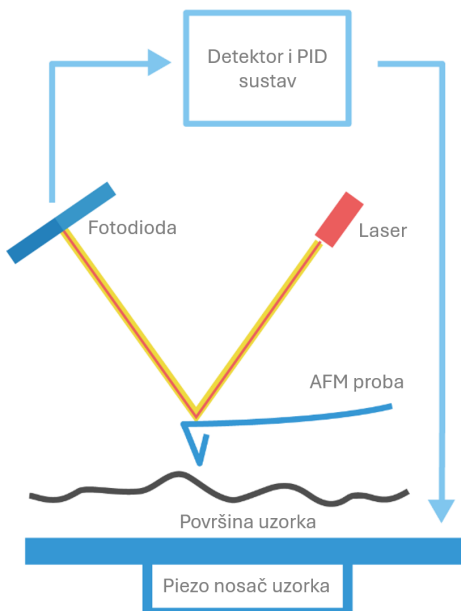
Mikroskop atomskih sila (eng. *Atomic Force Microscope*, AFM), pripada skupini mikroskopa sa skenirajućom probom (eng. *Scanning Probe Microscope*, SPM) vrlo visoke rezolucije<sup>9</sup>. Lokalizirane se informacije o uzorku sakupljaju "kontaktom" mehaničke probe s površinom uzorka, dok precizni piezoelektrični elementi omogućuju

<sup>9</sup>Pokazalo se da je rezolucija reda veličine nanometra, što je oko tri reda veličine ispod optičkog difrakcijskog limita.

pomicanje, odnosno skeniranje određene regije uzorka. Ova se tehnika koristi za istraživanje morfologije površine uzorka, mjerjenje njihove debljine, mjerjenje sile, manipulaciju atoma itd.

Kao što je prikazano na Slici 3.2, AFM se općenito sastoji od probe (nosača na čijem se kraju nalazi oštar vršak), lasera, detektora i nosača za uzorak koji se može pomicati u sve tri osi. Slika se generira pomicanjem probe preko površine uzorka te detektiranjem promjena reflektirane laserske zrake usred njenog savijanja prilikom interakcije vrška s površinom. Nakon detekcije savijanja, potrebno je prilagodi visinu probe na način da se popravi odzivni signal, što rezultira mjerenjem razlike visina mjerенog i ravnotežnog položaja [27].

Mjerenja su rađena na komercijalnom AFM sustavu JPK NanoWizard 4 AFM Ultra speed u *tapping mode*-u u ambijentalnim uvjetima. Korišteni su NCHPt nosači s vršcima (Nanoworld) konstante elastičnosti 42 N/m, nominalne rezonantne frekvencije 300 kHz, uz brzinu skeniranja od 0.6 Hz. Svi su podaci obrađeni pomoću JPK Data Processing software-a version 6.1.195.



Slika 3.2: Shematski prikaz AFM uređaja [28].

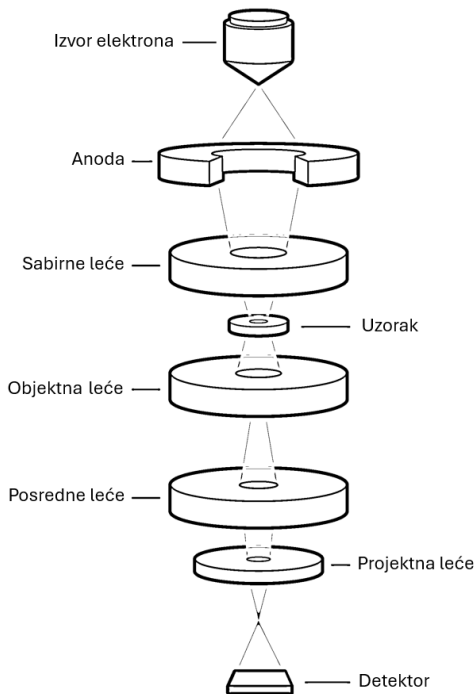
### 3.3 Transmisijska elektronska mikroskopija

Transmisijska elektronska mikroskopija (eng. *Transmission electron microscopy*, TEM) vrsta je mikroskopije gdje se slika formira prolaskom elektronskog snopa kroz

vrlo tanak uzorak<sup>10</sup>. Zahvaljujući činjenici da je de Broglieova valna duljina elektrona manja od valne duljine vidljivog dijela spektra, ovom je tehnikom moguće postići znatno veću rezoluciju snimaka u usporedbi s konvencionalnim svjetlosnim mikroskopom.

Kao što je prikazano na Slici 3.3, TEM se općenito sastoji od vakuumskog sustava, emisijskog izvora elektrona, elektromagnetskih leća (i ostalih komponenti elektromagnetske optike), sustava za ubrzavanje snopa i detektora. Nakon što se iz emisijskog izvora generira elektronski snop, on se razlikom potencijala ubrza kroz sustav koji je vakuumiran na  $\sim 10^{-4}$  Pa. Vakuum omogućuje nametanje veće razlike potencijala bez generiranja izboja i smanjuje frekvenciju kolizije elektrona s atomima zraka na zanemarive vrijednosti<sup>11</sup>. Elektronski se snop zatim fokusira na uzorak uz pomoć elektromagnetskih leća te se, interakcijom snopa i uzroka, mijenjaju karakteristike transmitiranog snopa. Zatim se uz pomoć drugih elektromagnetskih leća snop povećava i usmjerava na detektor gdje se dobije slika uzorka [29].

Mjerenja su vršena na TEM-u, model Jeol Neoarm TEM/SEM, na Sveučilištu u Pennsylvaniji, u Laboratoriju za istraživanje strukture materijala, u grupi prof. Marije Drndić.



Slika 3.3: Shematski prikaz TEM uređaja [30].

<sup>10</sup>Tanji od 100 nm.

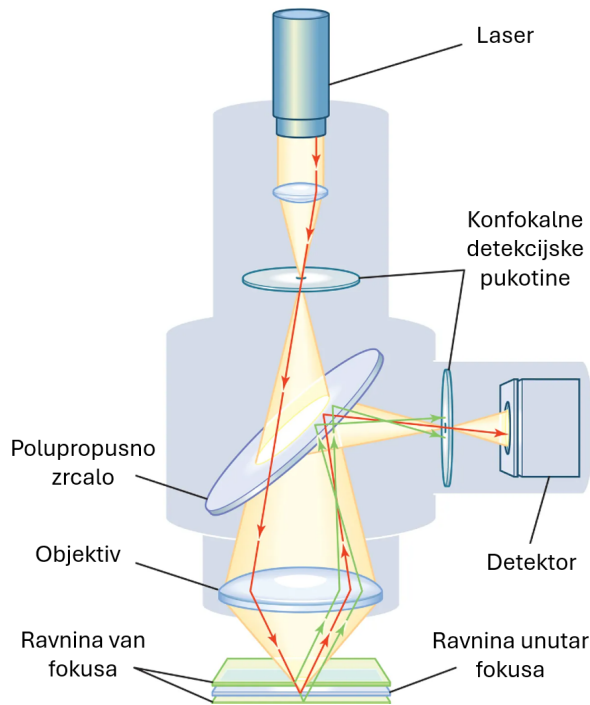
<sup>11</sup>Karakterizirano povećanjem srednjeg slobodnog puta elektrona.

### 3.4 Konfokalna mikroskopija

Konfokalna mikroskopija ili konfokalna laserska skenirajuća mikroskopija (eng. *Confocal Laser Scanning Microscopy, CLSM*) tehnika je optičkog snimanja za povećanje rezolucije i kontrasta prilikom formacije slike koristeći detekcijsku pukotinu za blokiranje svijetla izvan fokusa. Snimanjem više dvodimenzionalnih mapa na različitim dubinama moguće je rekonstruirati trodimenzionalne strukture unutar uzorka.

U najjednostavnijem se obliku postav za konfokalnu mikroskopiju sastoji od lasera, detektora, polupropusnog zrcala, leća/objektiva i detekcijskih pukotina kao što je prikazano na Slici 3.4. Laser prvo pobudi uzorak u fokusu objektiva te se, iz iste točke i kroz istu optiku, signal prikuplja. Zatim se, pomoću polupropusnog zrcala, signal odvaja i na kraju detektira pomoću detektora. Detekcijska se pukotina nalazi na optičkoj konjugiranoj ravnini<sup>12</sup> ispred detektora te služi za eliminaciju signala koji dolazi van određenog fokusa [31].

U ovom radu koristimo konfokalnu mikroskopiju za mjerjenje Ramanovog raspršenja i fotoluminiscencije (eng. *Photoluminescence, PL*).



Slika 3.4: Shematski prikaz konfokalnog mikroskopa [32].

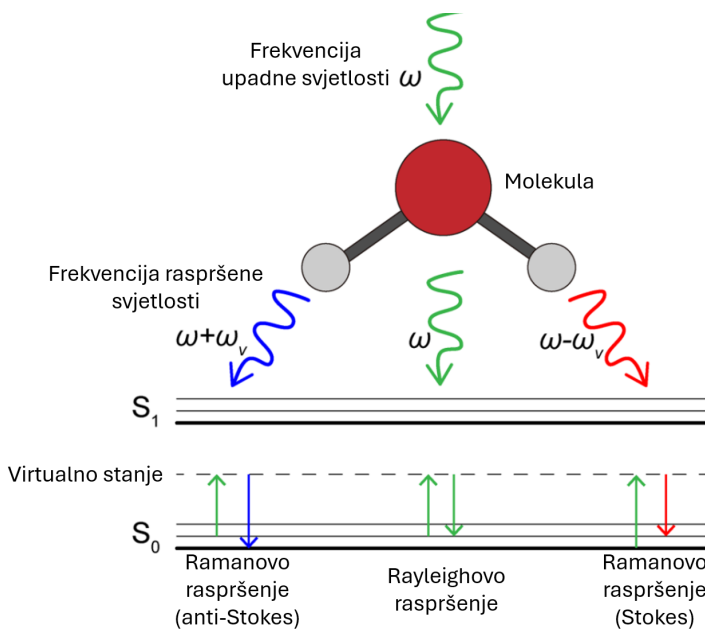
<sup>12</sup>Ravnina u kojoj nastaje slika i fokalna ravnina na uzorku su konjugirane fokalne ravnine, od tud i naziv za konfokalnu mikroskopiju.

### 3.4.1 Ramanova spektroskopija

Ramanova je spektroskopija vrsta spektroskopije koja se koristi za određivanje vibracijskih modova molekula ili atoma. Uobičajeno se koristi u kemiji i znanosti materijala za identifikaciju atoma i molekula s obzirom na to da pruža jedinstveni strukturni spektralni potpis kojim se atomi i molekule mogu razaznati.

Ramanova se spektroskopija zasniva na neelastičnom raspršenju fotona u interakciji s fononima, odnosno Ramanovom raspršenju. Laser interagira s vibracijama kristalne rešetke što rezultira pomicanjem energije raspršenih fotona iznad ili ispod originalne energije lasera kao što je prikazano na Slici 3.5. Ako je energija manja od upadne kažemo da se dogodio Stokesov pomak, dok ako je energija veća kažemo da se dogodio anti-Stokesov pomak. Ramanovo se raspršenje iz povijesnih razloga mjeri u  $\text{cm}^{-1}$  [33].

Mjerenja su rađena na komercijalnom Renishaw inVia Qontor konfokalnom Raman mikroskopu opremljenim sa zelenim laserom (532 nm). Ako drugačije nije navedeno, mjerenja su provedena u ambijentalnim uvjetima koristeći objektiv s povećanjem 50x (numerička apertura (NA) 0.50), difrakcijsku rešetku s 2400 zareza/mm, uz vrijeme akvizicije 0.2 s te sa snagom lasera na uzorku od  $140 \mu\text{W}$ . Svi su podaci obrađeni korištenjem programskog jezika Python.



Slika 3.5: Shematski prikaz Ramanovog raspršenja [34].

### **3.4.2 Fotoluminiscencija**

Fotoluminiscencija je emisija svjetlosti iz bilo kojeg oblika materije prouzročena apsorpcijom elektromagnetskog zračenja. Drugim riječima, to je vrsta luminescencije uzrokovane fotoeksitacijama.

Nakon što elektron (ili molekula) apsorbira foton određene energije, dolazi do njegovog prelaska u više energetsko stanje (pobuđeno stanje). Nakon određenog vremena dolazi do relaksacije sustava i spuštanja elektrona (ili molekule) u originalno energetsko stanje uz emisiju fotona. U slučaju da dođe do unutarnje redistribucije energije (npr. ako sustav posjeduje dodatna energetska međustanja između pobuđenog i osnovnog stanja) emitirani je foton manje energije od apsorbiranog [19]. Slučajevi koje promatramo detaljnije su opisani u potpoglavlju 2.2.2.

Mjerenja su rađena na komercijalnom Renishaw inVia Qontor konfokalnom Raman mikroskopu opremljenim sa zelenim laserom (532 nm). Ako drugačije nije navedeno, mjerenja su provedena u ambijentalnim uvjetima koristeći objektiv s povećanjem 50x (NA 0.50), difrakcijsku rešetku s 600 zareza/mm (za jednoslojeve) ili 150 zareza/mm (za dvoslojeve), uz vrijeme akvizicije 0.1 s te sa snagom lasera na uzorku od  $8.6 \mu\text{W}$  (jednoslojeve) ili  $140 \mu\text{W}$  (dvoslojeve). Svi su podaci obrađeni korištenjem programskog jezika Python.

## **3.5 Optička mikroskopija**

Ako drugačije nije navedeno, optičke su slike uzorka snimljene na Leica DM2700 M, Leica Microsystems, Wetzlar, Germany mikroskopu s povećanjima 10x, 20x i 50x. Mjerenja su rađena u ambijentalnim uvjetima te su uzorci bili osvijetljeni bijelom svjetlošću.

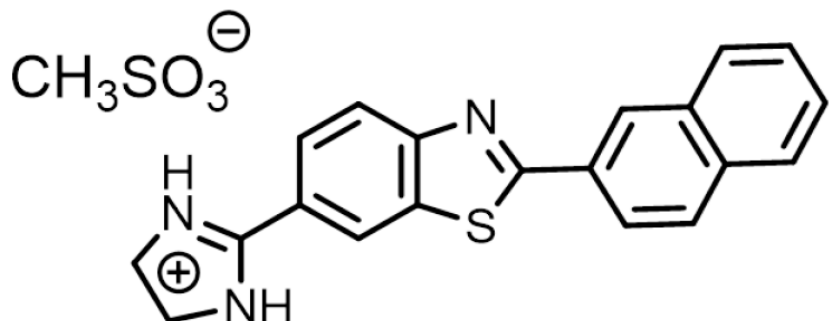
## **3.6 Modifikacija optičkih svojstava adsorpcijom organskih molekula**

Ovaj se dio istraživanja oslanja na prijašnje istraživanje utjecaja adsorpcije organskih molekula na optička svojstva MoS<sub>2</sub> [35]. Svrha ovog dijela je provjera utjecaja adsorpcije istih molekula na optička svojstva CVD sintetiziranih WS<sub>2</sub> jednoslojeva.

Organske molekule čiji utjecaj istražujemo su eng. 6-(4,5-Dihydro-1H-imidazol-

*3-ium-2-yl)-2-(naphthalene-2-yl)benzothiazole methanesulfonate* (L63MS, Slike 3.6). Za sintezu molekula korišten je Pinnerova reakcija za pretvorbu izomernih cijano-supstituiranih 2-aminofenole u derivate amidina, koji su zatim podvrgnuti reakciji kondenzacije s aril karboksilnim kiselinama. Molekule su sintetizirane na Tekstilno-tehnološkom fakultetu, na Sveučilištu u Zagrebu, u suradnji s dr. sc. Lucijom Ptiček i prof. dr. sc. Livijem Racané. Uzevši u obzir diskusiju izbora otapala iz [35] i profil topljivosti L63MS molekula (topljive u vodi i netopljive u izopropanolu), koristili smo miješani sustav otapala. L63MS molekule su prvo otopljenе u DI vodi te je takva otopina dalje razrijeđena čistim izopropanolom tako da završna otopina sadrži 0.5% vodene otopine molekula i 99.5% izopropanola. Koncentracija molekula u završnoj otopini je 42.6 ppm. Svježe su otopine pripremljene unutar 12 h prije korištenja i čuvane u hladnim uvjetima ( $3^{\circ}\text{C}$ ).

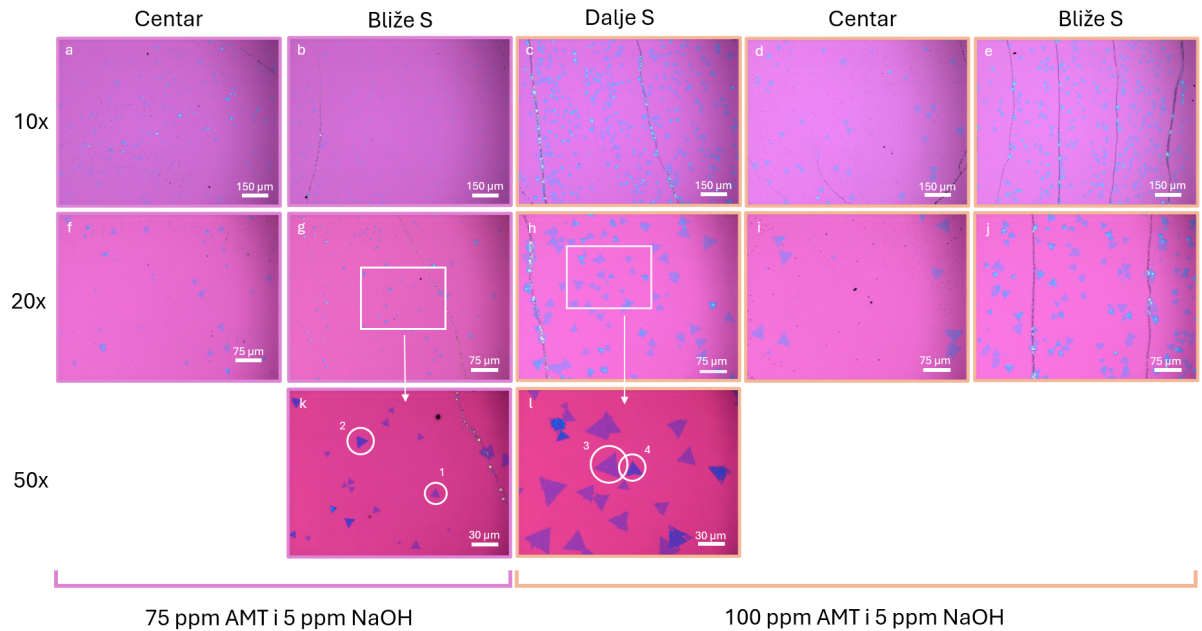
Mjerenja su tekla tako da smo najprije snimili PL mapu odabranog uzorka bez modifikacija kao referentnu točku. Zatim smo kapnuli  $2.5 \mu\text{L}$  otopine L63MS molekula, pustili da sve ishlapi u ambijentalnim uvjetima i ponovno snimili PL mapu. Svi su podaci obrađeni koristeći programski jezik Python.



Slika 3.6: Strukturalna formula L63MS molekule [35].

## 4 Rezultati i diskusija

### 4.1 Morfologija rasta



Slika 4.1: Optički mikrografovi različitih područja substrata za različite koncentracije prekursora (75 ppm AMT i 5 ppm NaOH, 100 ppm AMT i 5 ppm NaOH) na različitim povećanjima (10x, 20x, 50x). Na povećanju 50x označeni su Trokuti 1, 2, 3 i 4.

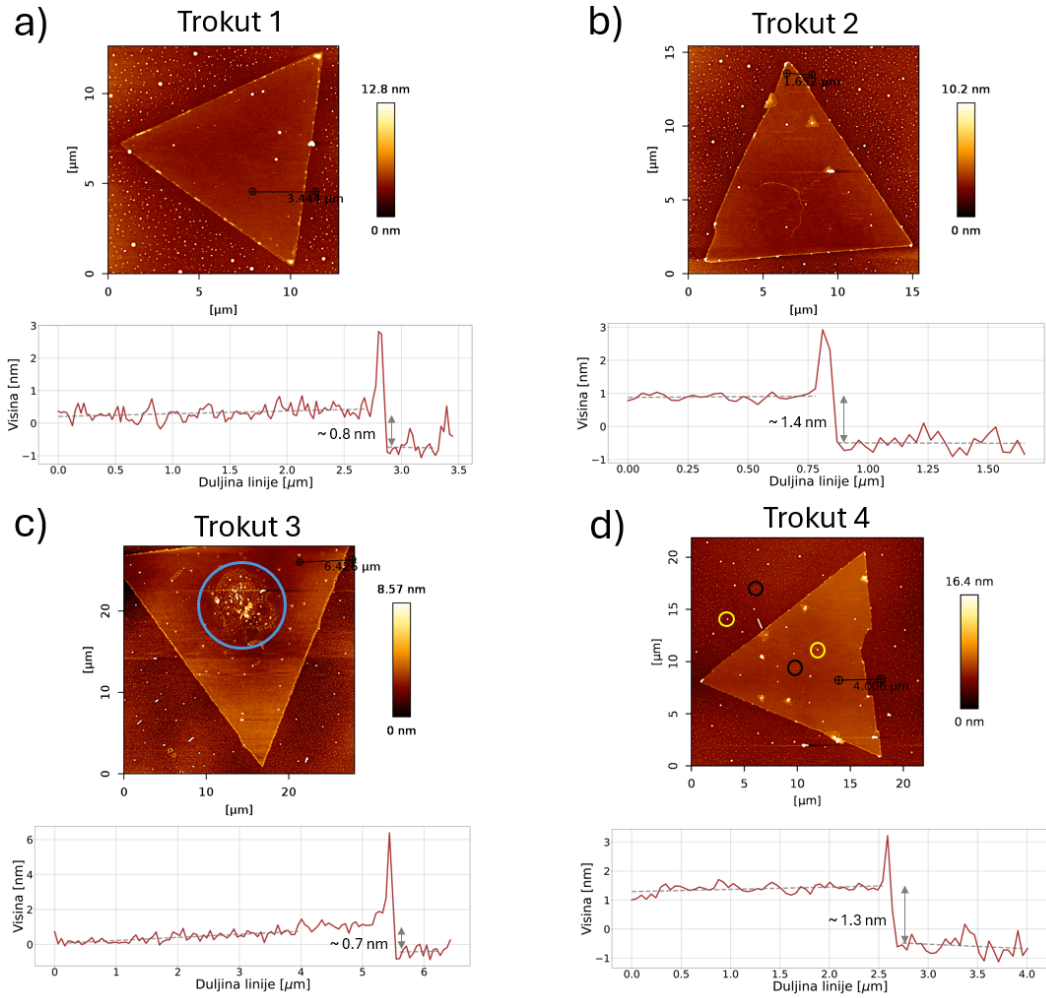
Na Slici 4.1 prikazani su optički mikrografovi na kojima vidimo razliku u morfologiji na većoj skali u ovisnosti o položaju na supstratu za različite koncentracije AMT-a u otopini prekursora. Primjećujemo neuniforman rast između različitih područja što upućuje na popratnu neuniformnost raspodijele prekursora po površini supstrata. Naočitiji pokazatelji neuniformne raspodijele količine prekursora su koncentrične nakupine neizreagiranog prekursora van centra sušenja (npr. Slika 4.1 [b, c, d, e, g, h, j, k]) te radijalne nakupine neizreagiranog prekursora od centra prema rubovima substrata (npr. Slika 4.1 [a, f, d, i]). S obzirom na to, promatramo različita područja karakterizirana različitim količinama prekursora: centar sušenja kapljice, zonu koja se nalazila bliže i zonu koja se nalazila dalje od sumpora (treba napomenuti da uzorak s koncentracijom 75 ppm AMT-a i 5 ppm NaOH nema zonu dalje od sumpora s obzirom na to da se kapljica, u tom slučaju, počela sušiti bliže rubu supstrata). Vidimo da je rast rjeđi u centru (Slika 4.1 [f, j]) te gušći u području između koncentričnih kružnica (Slika 4.1 [g, h, j]). Opažena je zonska raspodjela prekursora uzrokovanu činjenicom da sušenje kapljice, uz pomoć *hotplate*-a, nije ni

trenutačan ni homogen proces. Drugim riječima, raspodjela prekursora ovisi o lokalnoj brzini sušenja i lokalnoj debljini kapljice. Sušenje kapljice započinje u centru, gdje najčešće ostane veća nakupina neizreagiranog prekursora (Slika 4.1 [d, i]), te se zatim 'širi' prema rubu kapljice, ostavljajući za sobom radijalne i koncentrične nakupine neizreagiranog prekursora. U zonama manje gustoće deponiranog prekursora primjećujemo rjeđi rast, dok u zonama veće gustoće prekursora primjećujemo gušći rast. Diskusija vrijedi za obje koncentracije prekursora što vodi na zaključak da gustoća rasta WS<sub>2</sub> opisanom metodom znatno ovisi o koracima prije sinteze koji utječu na raspodjelu prekursora po supstratu - čišćenje podloge kisikovom plazmom i temperaturi sušenja kapljice.

Za koncentraciju prekursora od 75 ppm AMT-a i 5 ppm NaOH primjećujemo rjeđi rast uz prosječnu veličinu otoka oko 5-15  $\mu\text{m}$ , dok za koncentraciju prekursora od 100 ppm AMT-a i 5 ppm NaOH primjećujemo gušći rast uz prosječnu veličinu otoka oko 15-30  $\mu\text{m}$ . Ovo se slaže s prijašnjom diskusijom da veća koncentracija prekursora na površini potpomaže rastu otoka. Treba napomenuti da se kod uzoraka sintetiziranih korištenjem otopine koncentracije 100 ppm AMT-a i 5 ppm NaOH primjećuje češći polikristalni rast nego kod uzoraka sintetiziranih korištenjem otopine koncentracije 75 ppm AMT-a i 5 ppm NaOH (Slika 4.1 [l]). Ovo povezujemo s promjenom W:S omjera zbog povećanja koncentracije volframovog prekursora [26].

Na priloženim optičkim mikrografovima na Slici 4.1 [k, l] vidimo da su određeni otoci svjetlijii, odnosno tamniji. Razlika u optičkom kontrastu upućuje na razliku u debljini otoka što ukazuje da se opisanim postupkom sinteze mogu sintetizirati i jednoslojevi i višeslojevi, ovisno o odabranim parametrima rasta. Nasumično smo odabrali jedan jednosloj i jedan dvosloj s oba uzorka za daljnja mjerena. Trokut 1 (jednosloj) i 2 (dvosloj) su s uzorka sintetiziranog korištenjem otopine koncentracije 75 ppm AMT-a i 5 ppm NaOH, dok su Trokut 3 (jednosloj) i 4 (dvosloj) s uzorka sintetiziranog korištenjem otopine koncentracije 100 ppm AMT-a i 5 ppm NaOH.

Površinska morfologija sintetiziranih WS<sub>2</sub> uzoraka ispitivala se AFM-om (Slika 4.2). Izmjerene su mape rotirane 90° u lijevo u odnosu na optičke mikrografove (Slika 4.1 [k, l]). Visinska razlika između supstrata i izraslih WS<sub>2</sub> monokristalnih otoka iznosi:  $\sim 0.8 \text{ nm}$  (Trokut 1, Slika 4.2 [a]) i  $\sim 0.7 \text{ nm}$  (Trokut 3, Slika 4.2 [c]) za jednoslojeve te  $\sim 1.4 \text{ nm}$  (Trokut 2, Slika 4.2 [b]) i  $\sim 1.3 \text{ nm}$  (Trokut 4, Slika 4.2 [d]) za dvosloje. Izmjerene se vrijednosti slažu s potvrđenim vrijednostima za jed-

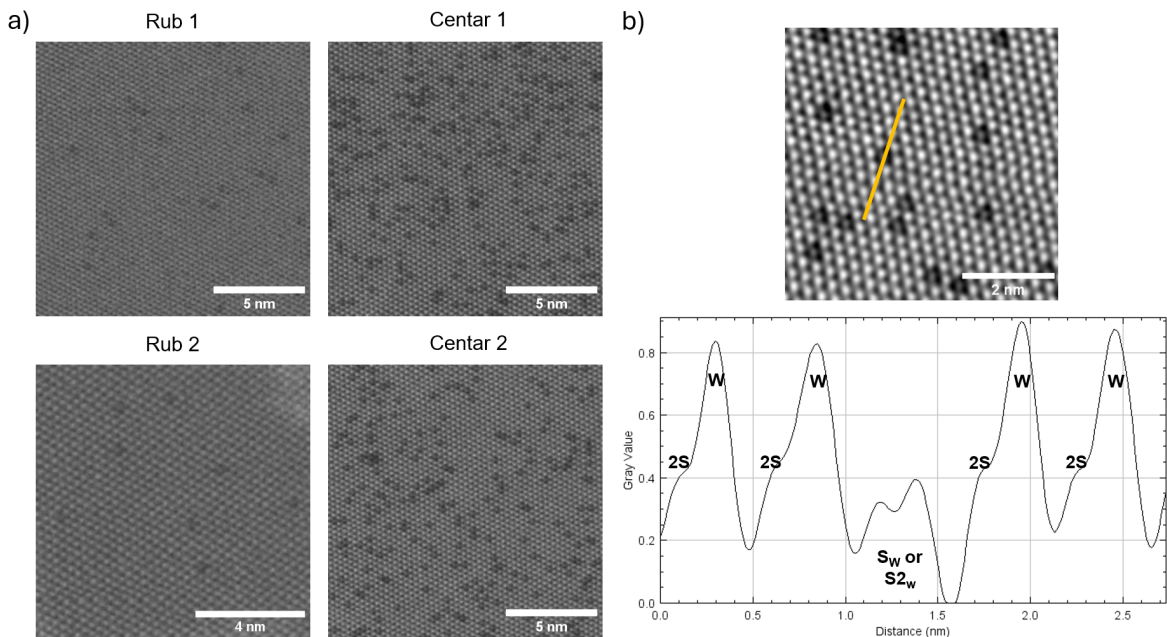


Slika 4.2: AFM topografske mape: a) Trokut 1, b) Trokut 2, c) Trokut 3 i d) Trokut 4 (Slika 4.1 [k, l]). Ispod mapa nalaze se pripadni visinski presjeci (crvene pune linija) presjeka naznačenih na mapama (crne linije) uz prikladnu linearnu prilagodbu (isprekidane sive linije). c) Plavim je krugom označena nakupina nečistoća. d) Žutim su krugovima označeni primjeri neizreagiranog prekursora, dok su crnim krugovima označeni primjeri kratera.

noslojeve u literaturi koje se kreću između 0.6 nm i 0.9 nm [36–38]. Razlike između međusobno izmijerenih visinskih vrijednosti možemo pripisati podizanju odabranih otoka sa supstrata uzrokovano interkaliranjem različitih nečistoća (molekula, zraka, vlage itd.) između otoka i supstrata te nepreciznosti prilikom mjerjenja radi snimanja velikih zona.

S prikaza visinskih presjeka na Slici 4.2 vidimo da su rubovi trokuta viši od ostatka površine uzorka. Istraživanja su pokazala da je vjerojatnije da se na rubovima TMD uzoraka nalaze atomi sumpora nego atomi prijelaznih metala [37]. Sumporovi rubovi su vrlo reaktivni te imaju tendenciju vezanja različitih nečistoća na sebe. Ovo rezultira rubovima koji su viši od ostatka uzorka. S obzirom na to, odlučili smo za-

nemariti rubove prilikom linearnih prilagodbi i određivanja visina odabranih otoka. AFM topografija pokazuje i prisutnost neizreagiranog prekursora i kratera koji se pojavljuju kao bijele i crne točkice po trokutima i supstratu (primjeri su označeni na Slici 4.2 [d]). Krateri su uobičajena pojava kod CVD sintetiziranih uzoraka koji koriste tekuće prekursore s natrijevim promotorima. Rezidualni NaOH može uzrokovati jetkanje  $\text{SiO}_2$  substrata što rezultira kraterima dubokim nekoliko nanometara [39]. U centru Trokuta 3 (Slika 4.2 [c]) vidimo nakupinu nečistoća koja se najvjerojatnije deponirala na površinu nakon sinteze. Napominjemo da izmjereni monokristalni otoci  $\text{WS}_2$  nemaju izražen centar nukleacije što omogućava optička mjerena i u centru trokuta.



Slika 4.3: a) TEM mape različitih regija jednosloja  $\text{WS}_2$ . b) Intenzitetski profil linjskog skena (gornji panel) označenog na pripadnoj TEM mapi (gornji panel).

Detekcija i kvantifikacija defekata u kristalnoj rešetci sintetiziranih  $\text{WS}_2$  uzoraka provela se pomoću TEM-a. Ponovno je nasumično odabran jedan monokristalni jednosloj s uzorka sintetiziranog korištenjem otopine prekursora 75 ppm AMT-a i 5 ppm NaOH. Na odabranom otoku promatramo 4 područja: dva u centru i dva uz rub. Sa Slike 4.3 [a] vidimo da se u centralnim područjima nalazi puno više defekata nego na rubnim područjima. Prebrojavanjem defekata dobiju se rezultati prikazani u Tablici 4.1. Dobivene gustoće defekata iznose:  $0.089 \text{ nm}^{-2}$  za Rub 1,  $0.080 \text{ nm}^{-2}$  za Rub 2,  $1.111 \text{ nm}^{-2}$  za Centar 1 i  $0.924 \text{ nm}^{-2}$  za Centar 2. Jedno od mogućih objašnjenja razlike količine defekata između centralnih i rubnih područja je priroda

korištene metoda sinteze. Iz literature je poznato da CVD sintetizirani uzorci rastu iz centra prema rubovima (oko centra nukleacije) [36]. Kao što je već diskutirano u potpoglavlju 3.1.3, najveći se dio naše sinteze događa prilikom naglog hlađenja od 850°C do 775°C što rezultira naprezanju uzorka te stvaranju pogodnijeg okruženja formaciji defekata na početku sinteze (centru) nego pri kraju (rubovi). To bi također objasnilo zašto se u centru pojavljuju grupe defekata (nekoliko defekata jedan do drugog) dok se na rubovima pojavljuju samo singularni defekti.

Na Slici 4.3 [b] prikazan je intenzitetski profil linijskog skena (donji panel) označen žutom linijom na priloženoj TEM mapi (gornji panel). Mjerenja upućuju da su opaženi defekti volframove vakancije ili supstitucije volframa atomima sumpora. Napominjemo da precizno objašnjenje formacije opaženih defekata i njihova jednoznačna identifikacija zahtijevaju daljnja mjerenja.

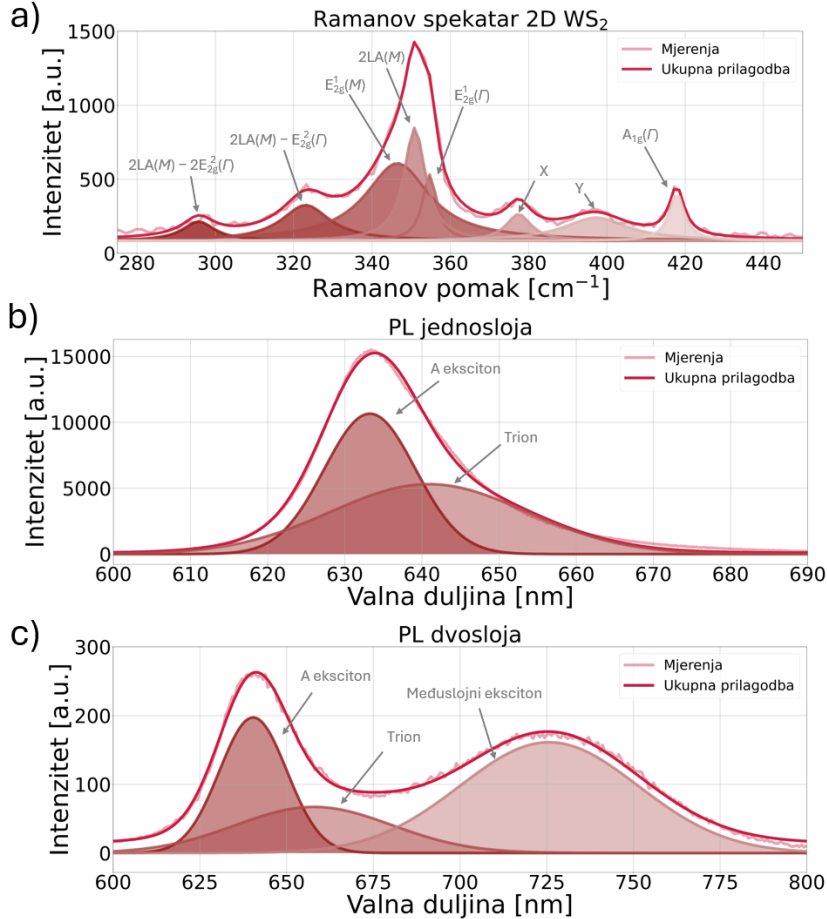
Tablica 4.1: Broja defekata po odabranim područjima.

Područje	1 defekt	2 defekta	3 defekta	4 defekta	6 defekta	8 defekta	Ukupno	Gustoća defekata [1/nm <sup>2</sup> ]
Rub 1	20	0	0	0	0	0	20	0.089
Rub 2	8	0	0	0	0	0	8	0.080
Centar 1	148	32	10	0	0	1	250	1.111
Centar 2	131	29	3	1	1	0	208	0.924

## 4.2 Optički odziv

Kako bismo istražili lokalni optički odziv sintetiziranih monokristalnih otoka WS<sub>2</sub> izmjerene su Ramanove i PL optičke mape nasumično odabranih jednoslojeva (Trokuti 1 i 3) i dvosloja (Trokuti 2 i 4) prikazanih na Slici 4.1 [k, l].

Na Slici 4.4 [a] prikazan je Ramanov spektar 2D WS<sub>2</sub> (Trokut 1, položaj 4 - Slika 4.5) na kojem su prikazani Ramanovi modovi prvog reda E<sub>2g</sub><sup>1</sup>(M), E<sub>2g</sub><sup>1</sup>(Γ) i A<sub>1g</sub>(Γ), drugog reda 2LA(M) te kombinirani modovi 2LA(M)-2E<sub>2g</sub><sup>2</sup>(Γ) i 2LA(M)-E<sub>2g</sub><sup>2</sup>(Γ). Radi kompletnosti, navodimo izmjerene vrijednosti položaja Ramanovih modova: (296 ± 2) cm<sup>-1</sup> za 2LA(M)-2E<sub>2g</sub><sup>2</sup>(Γ), (323 ± 1) cm<sup>-1</sup> za 2LA(M)-E<sub>2g</sub><sup>1</sup>(Γ), (347 ± 3) cm<sup>-1</sup> za E<sub>2g</sub><sup>1</sup>(M), (350.9 ± 0.8) cm<sup>-1</sup> za 2LA(M), (355.5 ± 0.5) cm<sup>-1</sup> za E<sub>2g</sub><sup>1</sup>(Γ) i (417.8 ± 0.4) cm<sup>-1</sup> za A<sub>1g</sub>(Γ). Izmjerene se vrijednosti odlično slažu s vrijednostima danim u literaturi koje iznose: 295.4 cm<sup>-1</sup> za 2LA(M)-2E<sub>2g</sub><sup>2</sup>(Γ), 322.9 cm<sup>-1</sup> za 2LA(M)-E<sub>2g</sub><sup>1</sup>(Γ), 343.1 cm<sup>-1</sup> za E<sub>2g</sub><sup>1</sup>(M), 350.8 cm<sup>-1</sup> za 2LA(M), 355.4 cm<sup>-1</sup> za E<sub>2g</sub><sup>1</sup>(Γ) i 417.9 cm<sup>-1</sup> za A<sub>1g</sub>(Γ) [36]. Razlika od ∼62 cm<sup>-1</sup> između E<sub>2g</sub><sup>1</sup>(Γ) i A<sub>1g</sub>(Γ) i izrazit odziv 2LA(M) moda za pobudu zelenim laserom (532 nm), uzrokovani dvostrukim rezonansnim efektom.



Slika 4.4: a) Ramanov spektar 2D WS<sub>2</sub> uz prikaz prilagođene krivulje uz oznake određenih Ramanovih modova. b) PL spektar jednosloja WS<sub>2</sub> uz prikaz prilagođene krivulje uz oznake A ekscitona i triona. c) PL spektar dvosloja WS<sub>2</sub> prilagođene krivulje uz oznake A ekscitona, triona i međuslojnog ekscitona.

nantnim raspršenjem, predlažu se kao spektralni potpis jednosloja WS<sub>2</sub> [36]. Osim navedenih Ramanovih modova 2D WS<sub>2</sub>, pojavljuju se i modovi na  $(377 \pm 2)$  cm<sup>-1</sup> i  $(397.2 \pm 0.4)$  cm<sup>-1</sup> koje smo označili s X i Y o kojima će biti riječ kasnije. Na Slici 4.4 [a] je, radi jasnoće, uz ukupnu korištenu prilagodbu linearne kombinacije Lorentziana, prikazana i pojedinačna prilagodba Lorentziana za pojedi Ramanov mod.

Na Slici 4.4 [b, c] prikazani su PL spektri jednosloja (Trokut 1, položaj 4 - Slika 4.7) i dvosloja (Trokut 2, položaj 4 - Slika 4.11) 2D WS<sub>2</sub>. Izmjerene vrijednosti položaja centara linija A ekscitona su:  $(633.25 \pm 0.02)$  nm,  $\sim 1.96$  eV, za jednosloj i  $(640.4 \pm 0.7)$  nm,  $\sim 1.94$  eV, za dvosloj. Dobiveni se rezultati slažu s vrijednostima danoj u literaturi od  $\sim 635$  nm ( $\sim 1.95$  eV), što je često navođena vrijednost za jednoslojeve i uzorke do 5 slojeva WS<sub>2</sub> [36, 40]). Emisijske linije triona uobičajeno se pojavljuju zbog blagog fotodopiranja ili utjecaja dopirane podloge te se u ovom radu nećemo osvrtati na njih. Izmjerena vrijednost položaja centra linije međuslojnog ekscitona

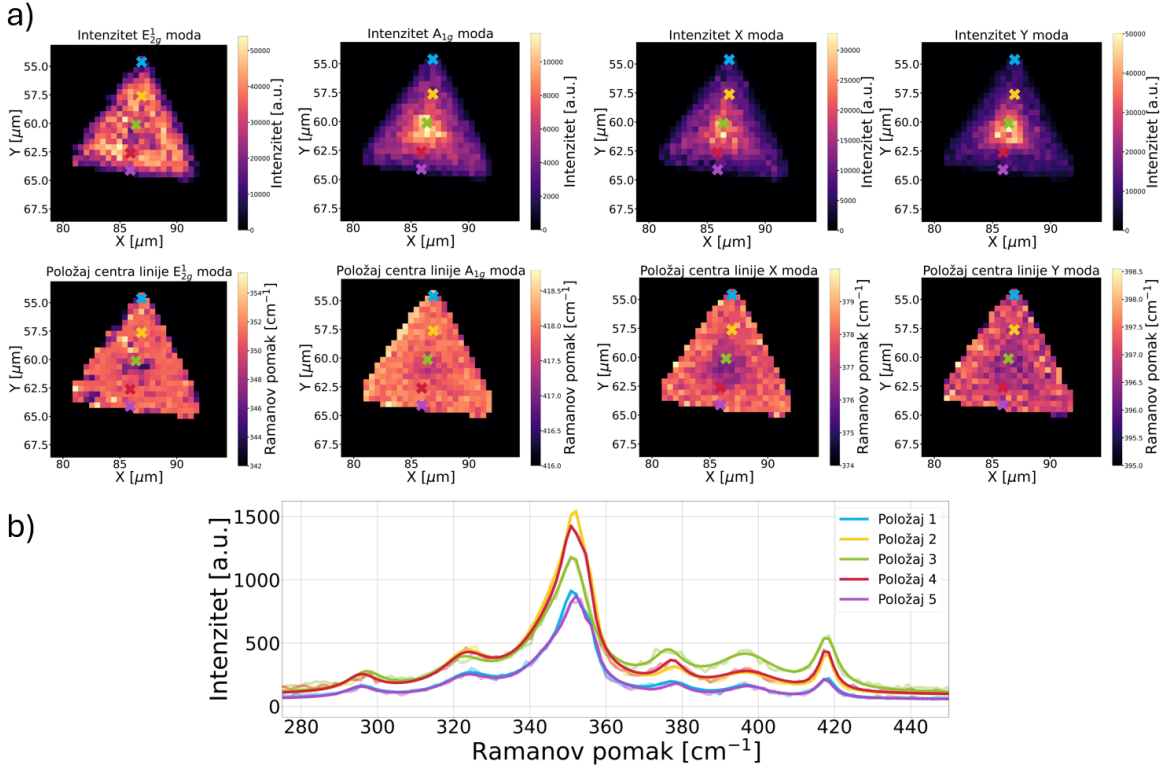
iznosi  $(726 \pm 2)$  nm,  $\sim 1.71$  eV, što se slaže s vrijednosti danoj u literaturi od  $\sim 729$  nm ( $\sim 1.70$  eV) za dvosloje bez relativnog kuta zakretanja između slojeva [41]. Radi jasnoće, na Slici 4.4 [b, c] je, uz korištenu prilagodbu linearne kombinacije Gaussiana, prikazana i pojedinačna prilagodba Gaussiana za A eksciton, trion i međuslojni eksciton.

U narednim čemo razmatranjima prikazivati optičke mape intenziteta i položaja centara linija  $E_{2g}^1(\Gamma)$ ,  $A_{1g}(\Gamma)$ ,  $X$  i  $Y$  moda, odnosno A i međuslojnog ekscitona, uz prikladne spektre s pet položaja uz jednu težišnicu trokuta radi jasnoće prikaza i lakšeg razumijevanje. Monokristalni otoci  $WS_2$  sintetizirani su korištenjem različitih koncentracija prekursora - 75 ppm AMT-a i 5 ppm NaOH za Trokute 1 i 2 te 100 ppm AMT-a i 5 ppm NaOH za Trokute 3 i 4. Na spektrima su prikazana mjerenja (transparentne linije) uz prekopljene krivulje prilagodbe (pune linije). Kao referente točke, u svakoj skupini spektara, uzimamo položaje 4 s obzirom na to da TEM mjerenja upućuju da je u tim područjima najmanja količina defekata. Ako drugačije nije navedeno, vrijednosti koje se spominju u tekstu uzete su s položaja 4. Položaji 1 (vrhovi) i položaji 5 (rubovi) nisu reprezentativni jer, kao što je diskutirano u potpoglavlju 4.1 uz AFM mjerenja (Slika 4.2), znamo da su puni nečistoća.

#### 4.2.1 Optički odziv jednoslojnog $WS_2$

Na Slikama 4.5 i 4.6 prikazani su rezultati optičkog mapiranja Ramanovih modova jednoslojeva  $WS_2$ . Prikazane su optičke mape intenziteta i položaja centara linija  $E_{2g}^1(\Gamma)$  i  $A_{1g}(\Gamma)$ , kao i  $X$  i  $Y$  modova.

Na optičkim Ramanovim mapama intenziteta  $E_{2g}^1(\Gamma)$  moda vidimo pad signala u centru za Trokut 1 te u centru i malo izvan (gore desno) za Trokut 3. Ovi su padovi intenziteta popraćeni blagim pomacima u plavo položaja centra linije  $E_{2g}^1(\Gamma)$  moda kod oba trokuta (Slike 4.5 i 4.6 [a] prvi stupac). Na optičkim Ramanovim mapama intenziteta  $A_{1g}(\Gamma)$  vidimo porast u centru Trokuta 1 te pad u području malo izvan centra (gore desno) za Trokuta 3. Ove su promijene popraćene blagim pomacima u plavo položaja centra linije  $A_{1g}(\Gamma)$  moda u centrima oba trokuta (i malo desno gore za Trokut 3 (Slike 4.5 i 4.6 [a] drugi stupac). S optičkih Ramanovih mapa intenziteta  $X$  i  $Y$  moda (Slike 4.5 i 4.6 [a] treći i četvrti stupac) vidimo da je signal najjači u centru trokuta te da slabi prema njegovim rubovima. Sa spektara na Slikama 4.5 i 4.6 [b] jasnije vidimo da je porast signala  $X$  i  $Y$  moda popraćen padom  $E_{2g}^1(\Gamma)$  i



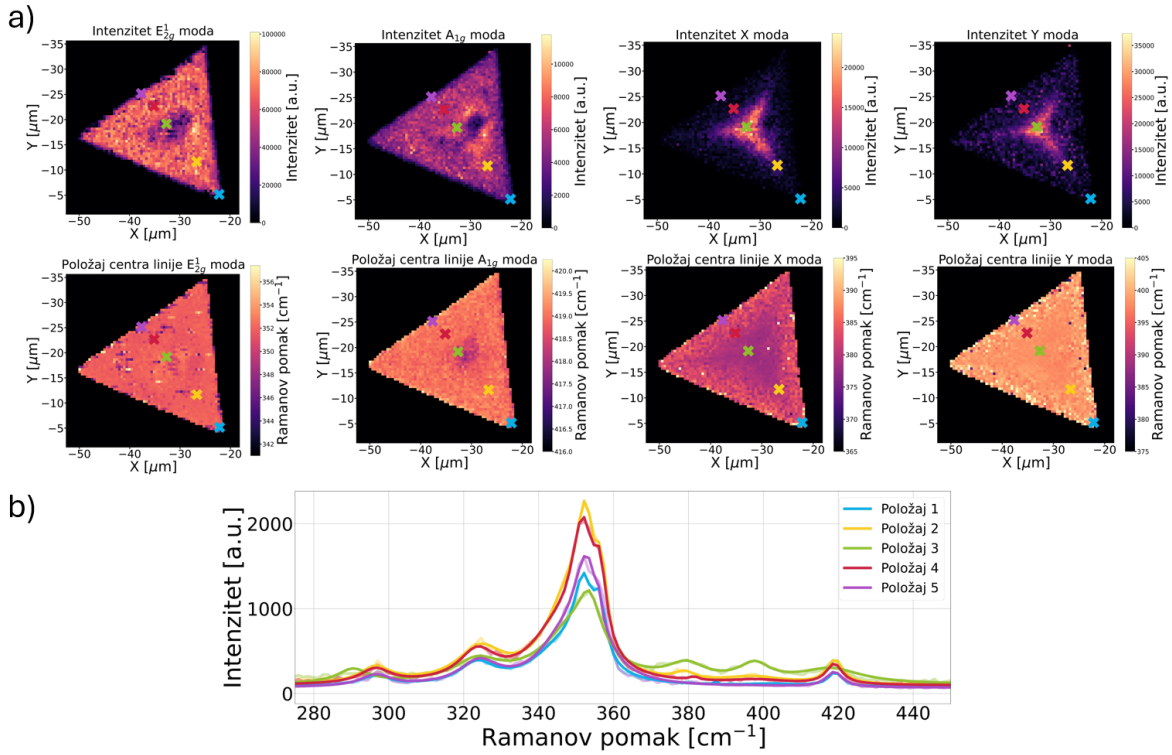
Slika 4.5: Optičke Ramanove mape Trokuta 1: a) Mape intenziteta (gornji red) i položaja centara linija  $E_{2g}^1(\Gamma)$ ,  $A_{1g}(\Gamma)$ ,  $X$  i  $Y$  moda (donji red). b) Ramanovi spektri položaja označenih s 'x' na mapama pod a).

porastom  $A_{1g}(\Gamma)$ . Prepostavljamo da što god uzrokuje  $X$  i  $Y$  modove utječe i na spomenute promjene signala  $E_{2g}^1(\Gamma)$  i  $A_{1g}(\Gamma)$ <sup>13</sup>.

Osvrnemo li se ponovno na mjesto nižeg intenziteta  $E_{2g}^1(\Gamma)$  i  $A_{1g}(\Gamma)$  modova kod Trokuta 3 (Slike 4.6 [a]), primjećujemo da je to područje gdje smo na AFM topografskoj mapi primijetili nakupinu nečistoća (Slika 4.2 [c]). Prepostavljamo da ta nakupina nečistoća guši titranje atoma unutar i van ravnine sloja uzorka što rezultira lokalnim padom signala za  $E_{2g}^1(\Gamma)$  i  $A_{1g}(\Gamma)$  mod nepovezano uz prisutnost  $X$  i  $Y$  modova.

Sa Slikama 4.5 i 4.6 i priložene Tablice 4.2 vidimo da nema značajne promjene položaja centara linija  $E_{2g}^1(\Gamma)$  i  $A_{1g}(\Gamma)$  modova po težišnicama promatralnih trokuta, kao ni njihove razlike. Ona iznosi  $\sim 63 \text{ cm}^{-1}$  za oba trokuta što se slaže s očekivanom vrijednošću za jednoslojeve WS<sub>2</sub> [36]. Također, primjećujemo da je razlika položaja  $X$  i  $Y$  moda  $\sim 20 \text{ cm}^{-1}$  za Trokut 1 te  $\sim 16 \text{ cm}^{-1}$  za Trokut 3. Napominjemo da ne uočavamo značajnu tendenciju promjene razlike položaja  $X$  i  $Y$  moda na različitim

<sup>13</sup>Promjene u položajima centara linija Ramanovih modova u centru trokuta mogu biti uzrokovane i utjecajem centra nukleacije, no s obzirom na to da je on u našem slučaju toliko mali da ga nismo uočili na AFM topografskim mapama, prepostavljamo da je to malo vjerojatno.



Slika 4.6: Optičke Ramanove mape Trokuta 3: a) Mape intenziteta (gornji red) i položaja centara linija  $E_{2g}^1(\Gamma)$ ,  $A_{1g}(\Gamma)$ ,  $X$  i  $Y$  moda (donji red). b) Ramanovi spektri položaja označenih s 'x' na mapama pod a).

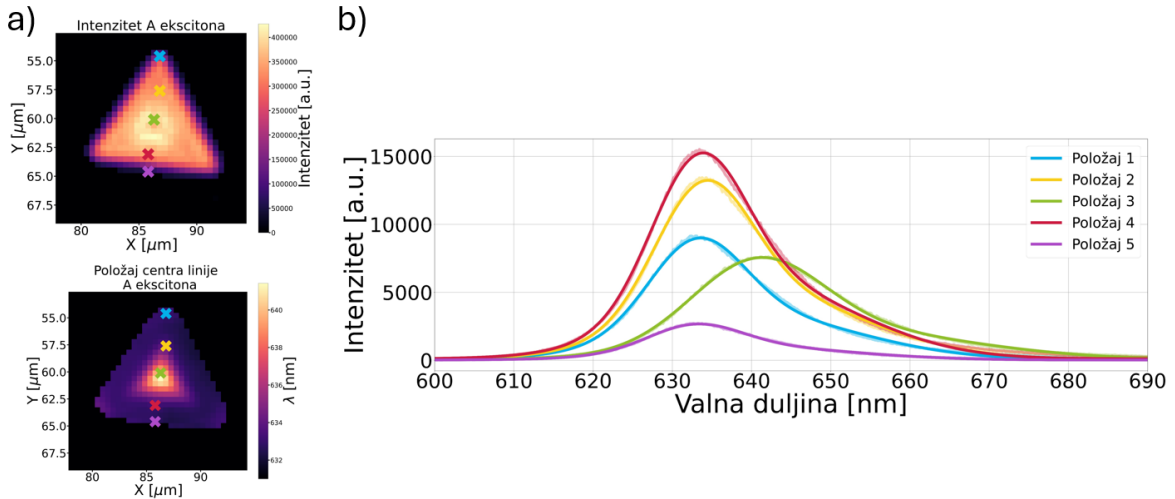
Tablica 4.2: Vrijednosti prilagodbe položaja centara linija  $E_{2g}^1(\Gamma)$ ,  $A_{1g}(\Gamma)$ ,  $X$  i  $Y$  moda odabralih položaja Trokuta 1 i 3.

		$E_{2g}^1(\Gamma)$ [ $\text{cm}^{-1}$ ]	$A_{1g}(\Gamma)$ [ $\text{cm}^{-1}$ ]	$X$ [ $\text{cm}^{-1}$ ]	$Y$ [ $\text{cm}^{-1}$ ]
Trokut 1	Položaj 1	$355.5 \pm 0.5$	$417.9 \pm 0.7$	$377 \pm 2$	$397 \pm 2$
	Položaj 2	$355.7 \pm 0.8$	$417.9 \pm 0.4$	$378 \pm 1$	$397 \pm 2$
	Položaj 3	$355 \pm 1$	$417.9 \pm 0.5$	$376 \pm 1$	$396 \pm 1$
	Položaj 4	$354.8 \pm 0.8$	$417.8 \pm 0.4$	$377 \pm 1$	$397 \pm 2$
	Položaj 5	$356.5 \pm 0.7$	$417.5 \pm 0.7$	$378 \pm 2$	$397 \pm 2$
Trokut 3	Položaj 1	$356.3 \pm 0.4$	$419.2 \pm 0.7$	—	—
	Položaj 2	$356.7 \pm 0.2$	$419.1 \pm 0.6$	$379 \pm 2$	$397 \pm 5$
	Položaj 3	$354 \pm 1$	$418 \pm 3$	$378 \pm 2$	$398 \pm 1$
	Položaj 4	$356.4 \pm 0.3$	$418.9 \pm 0.6$	$382 \pm 3$	$398 \pm 7$
	Položaj 5	$356.4 \pm 0.3$	$418.9 \pm 0.8$	—	—

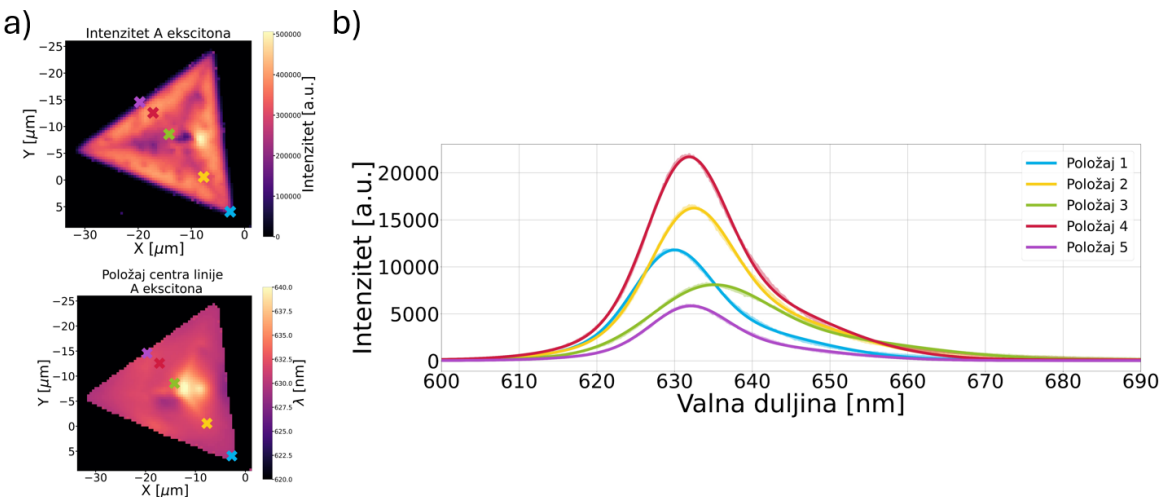
položajima Trokuta 1, dok se promjena razlike ( $\sim 2\text{-}4$  nm) po položajima Trokuta 3 može pripisati utjecaju već spomenute nakupine nečistoća. Izuzev toga, vidimo da su trokuti vrlo homogeni po svojim položajima centara linija  $E_{2g}^1(\Gamma)$  i  $A_{1g}(\Gamma)$  moda što ukazuje da su jednoslojevi sintetizirani različitim koncentracijama prekursora (75 ppm i 100 ppm AMT-a) usporedive kvalitete što se tiče Ramanovog raspršenja.

Jedno od mogućih objašnjenja  $X$  i  $Y$  modova je da su to perturbacije kristalne

rešetke uzrokovane defektima (atomskih vakancija) unutar same rešetke [42, 43]. Ovo smo djelomično potvrdili TEM mjerjenjima (Slika 4.3) koja su pokazala da se u centru trokuta nalazi puno veći broj defekata nego na rubu, no precizna identifikacija detektiranih  $X$  i  $Y$  modova i njihova korelacija s uočenim promjenama  $E_{2g}^1(\Gamma)$  i  $A_{1g}(\Gamma)$  moda zahtijeva daljnja mjerena.



Slika 4.7: Optičke PL mape Trokuta 1: a) Mape intenziteta (gornji red) i položaja centra linije A ekscitona (donji red). b) PL spektri točaka položaja s 'x' na mapi pod a).



Slika 4.8: Optičke PL mape Trokuta 3: a) Mape intenziteta (gornji red) i položaja centra linije A ekscitona (donji red). b) PL spektri točaka položaja s 'x' na mapi pod a).

Promatrajući optičke PL mape Trokuta 1 i 3 (Slika 4.7 i 4.8) i priloženu Tablicu 4.3, opaža se promjena intenziteta i položaja centra linija A ekscitona između centralnih i rubnih položaja, slično kao i kod Ramanovih modova (napominjemo da ponovno primjećujemo promjenu signala (pad intenziteta i pomak u crveno) u centru

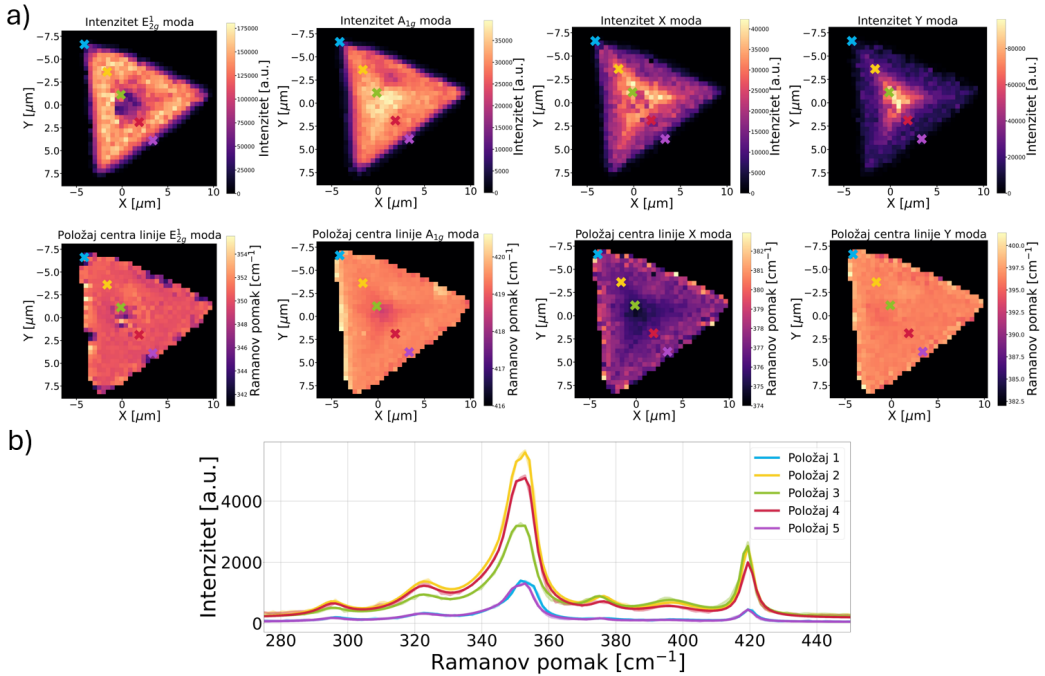
Tablica 4.3: Vrijednosti prilagodbe amplitude, položaja centra linije i FWHM A ekscitona odabranih položaja Trokuta 1 i 3.

		Ampl. A eksc. [a.u.]	Polož. A eksc. [nm]	FWHM [nm]
Trokut 1	Položaj 1	$15200 \pm 200$	$632.94 \pm 0.03$	$14.13 \pm 0.08$
	Položaj 2	$22600 \pm 300$	$633.82 \pm 0.03$	$14.29 \pm 0.08$
	Položaj 3	$19400 \pm 200$	$640.59 \pm 0.03$	$19.36 \pm 0.08$
	Položaj 4	$25100 \pm 300$	$633.25 \pm 0.03$	$13.91 \pm 0.08$
	Položaj 5	$4340 \pm 50$	$632.75 \pm 0.03$	$13.76 \pm 0.08$
Trokut 3	Položaj 1	$16200 \pm 100$	$629.64 \pm 0.02$	$11.46 \pm 0.05$
	Položaj 2	$23500 \pm 200$	$632.03 \pm 0.02$	$12.16 \pm 0.06$
	Položaj 3	$17600 \pm 300$	$634.32 \pm 0.03$	$17.2 \pm 0.1$
	Položaj 4	$31000 \pm 300$	$631.51 \pm 0.02$	$11.80 \pm 0.05$
	Položaj 5	$8000 \pm 70$	$631.78 \pm 0.02$	$11.33 \pm 0.04$

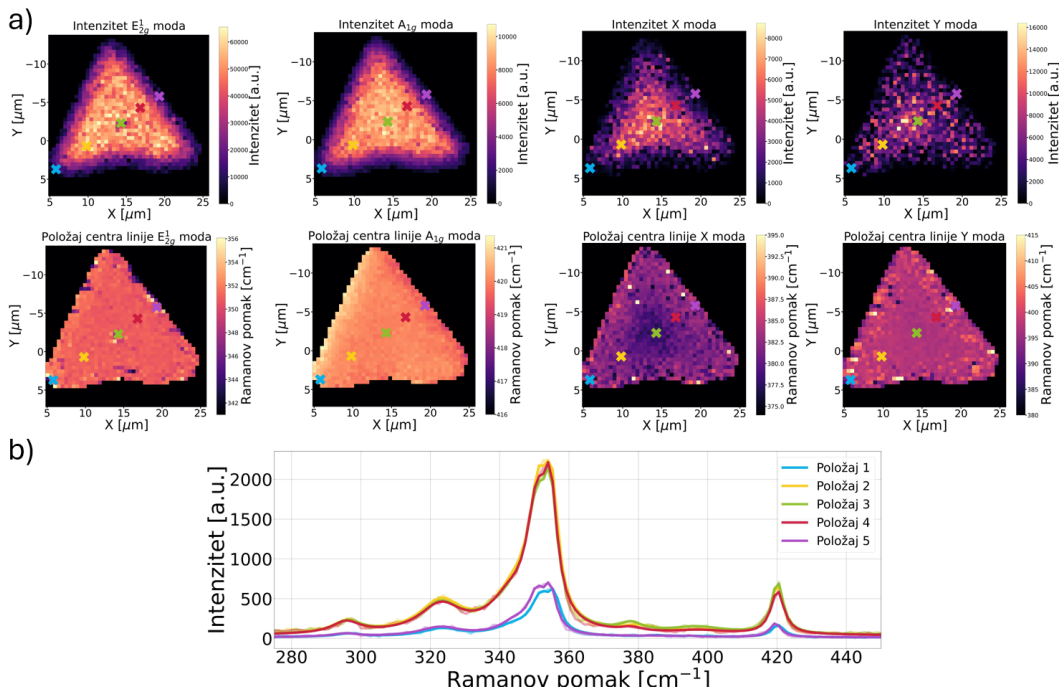
Trokuta 3 (Slika 4.8 [a]) koju povezujemo s već spomenutom nakupinom nečistoća). Uspoređujući centar (položaj 3) s referentnim položajem (položaj 4), primjećujemo kako se amplituda A eksitona smanji, dok se položaj centra linije pomakne u crveno te pripadni FWHM poveća. Okvirno, relativni pad amplitude A eksitona za Trokut 1 iznosi  $\sim 22\%$ , pomak u crveno  $\sim 7$  nm i proširenja FWHM  $\sim 6$  nm, dok za Trokut 3 relativni pad amplitude iznosi  $\sim 43\%$ , pomak u crveno  $\sim 3$  nm i proširenje FWHM  $\sim 5$  nm.

Razlog zašto opažamo promjenu intenziteta PL signala je zato što intenzitet ovisi o vremenu života eksitona  $\tau_E$  na način  $I(PL) \sim \tau_E / \tau_R$  gdje je  $\tau_R$  radijativno rekombinacijsko vrijeme.  $\tau_R$  je povezan s  $\tau_E$  relacijom  $\tau_E^{-1} = \tau_R^{-1} + \tau_{NR}^{-1}$  gdje je  $\tau_{NR}$  neradijativno rekombinacijsko vrijeme [26]. Radijativno rekombinacijsko vrijeme ovisno je o temperaturi i intrinzično je za određeni materijal, dok je neradijativno rekombinacijsko vrijeme ovisno o više faktora (npr. prisutnost defektnih stanja i stupica) koji skraćuju neradijativno rekombinacijsko vrijeme tako što pružaju više neradijativnih kanala raspada. Drugim riječima, defekti mogu stvoriti stanja unutar energetskog procijepa koja uvode nove relaksacijske kanale te time skraćuju vrijeme života eksitona. Također, poznato je da skraćenje vremena života eksitona vodi na povećanje pripadnog FWHM. Time su PL intenziteti A eksitona osjetljivi na gustoću defekata što rezultira indirektnom informacijom o kvaliteti uzorka [26, 44]. Ovo je u skladu s TEM i Ramanovim mjeranjima koja ukazuju na postojanje defekata u centru uzorka.

#### 4.2.2 Optički odziv dvoslojnog WS<sub>2</sub>



Slika 4.9: Optičke Ramanove mape Trokuta 2: a) Mape intenziteta (gornji red) i položaja centra linija  $E_{2g}^1(\Gamma)$ ,  $A_{1g}(\Gamma)$ ,  $X$  i  $Y$  moda (donji red). b) Ramanovi spektri položaja označenih s 'x' na mapama pod a).



Slika 4.10: Optičke Ramanove mape Trokuta 4: a) Mape intenziteta (gornji red) i položaja centra linija  $E_{2g}^1(\Gamma)$ ,  $A_{1g}(\Gamma)$ ,  $X$  i  $Y$  moda (donji red). b) Ramanovi spektri položaja označenih s 'x' na mapama pod a).

Na Slikama 4.9 i 4.10 prikazani su rezultati optičkog mapiranja Ramanovih modova dvoslojeva  $WS_2$ . Prikazane su optičke mape intenziteta i položaja centara linija  $E_{2g}^1(\Gamma)$  i  $A_{1g}(\Gamma)$ , kao i  $X$  i  $Y$  modova.

Na optičkim Ramanovim mapama intenziteta i položaja centara linija  $E_{2g}^1(\Gamma)$ ,  $A_{1g}(\Gamma)$ ,  $X$  i  $Y$  moda Trokuta 2 (Slika 4.9) vidimo slično ponašanje koje smo opisali kod jednoslojeva. U centru trokuta primjećujemo pad intenziteta i blagi pomak u plavo položaja centra linije  $E_{2g}^1(\Gamma)$  moda, porast intenziteta i blagi pomak u plavo za položaj centra linije  $A_{1g}(\Gamma)$  moda te veću prisutnost  $X$  i  $Y$  moda u centru naspram rubova trokuta. Na optičkim Ramanovim mapama intenziteta i položaja centara linija  $E_{2g}^1(\Gamma)$ ,  $A_{1g}(\Gamma)$ ,  $X$  i  $Y$  moda Trokuta 4 (Slika 4.10) ne uočavamo jasne varijacije intenziteta i pomaka centara linija  $E_{2g}^1(\Gamma)$ ,  $A_{1g}(\Gamma)$ , no također ne uočavamo ni jasniju izraženost  $X$  i  $Y$  moda.

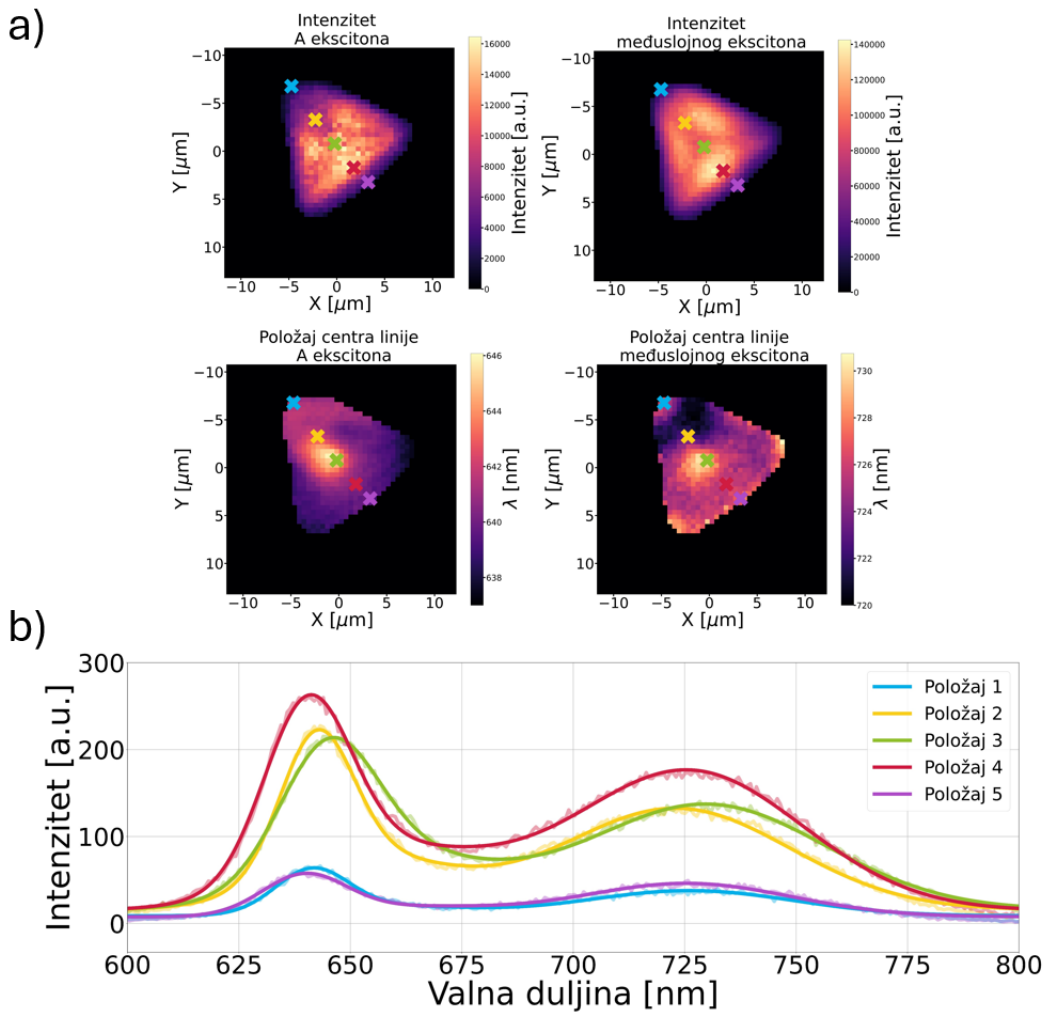
Prisutnost  $X$  i  $Y$  moda u optičkim Ramanovim mapama intenziteta i položaja centara linija dvoslojnih Trokuta 2 i 4 (Slike 4.9 i 4.10) ukazuje na postojanje istih defekata kao i kod jednoslojnih Trokuta 1 i 3 (Slike 4.5 i 4.6), no napominjemo da nemamo TEM mjerenja dvoslojnih trokuta te konkretni zaključci zahtijevaju daljnja mjerenja.

Tablica 4.4: Vrijednosti prilagodbe položaja centara linija  $E_{2g}^1(\Gamma)$ ,  $A_{1g}(\Gamma)$ ,  $X$  i  $Y$  moda odabranih položaja Trokuta 2 i 4.

		$E_{2g}^1(\Gamma)$ [cm $^{-1}$ ]	$A_{1g}(\Gamma)$ [cm $^{-1}$ ]	$X$ [cm $^{-1}$ ]	$Y$ [cm $^{-1}$ ]
Trokut 2	Položaj 1	$355.4 \pm 0.6$	$419.7 \pm 0.4$	$377 \pm 4$	$398 \pm 8$
	Položaj 2	$354.1 \pm 0.4$	$419.3 \pm 0.1$	$376.3 \pm 0.9$	$397 \pm 2$
	Položaj 3	$353.6 \pm 0.7$	$418.9 \pm 0.1$	$374.9 \pm 0.8$	$396 \pm 1$
	Položaj 4	$353.9 \pm 0.3$	$419.5 \pm 0.2$	$376 \pm 1$	$396 \pm 2$
	Položaj 5	$353.5 \pm 0.7$	$419.4 \pm 0.4$	$375 \pm 3$	$395 \pm 8$
Trokut 4	Položaj 1	$355.7 \pm 0.2$	$420.2 \pm 0.3$	—	—
	Položaj 2	$355.0 \pm 0.1$	$420.0 \pm 0.1$	—	—
	Položaj 3	$354.6 \pm 0.2$	$420.1 \pm 0.1$	$378 \pm 1$	$397 \pm 3$
	Položaj 4	$354.7 \pm 0.2$	$420.1 \pm 0.1$	$378 \pm 2$	$398 \pm 4$
	Položaj 5	$356.4 \pm 0.3$	$419.6 \pm 0.3$	—	—

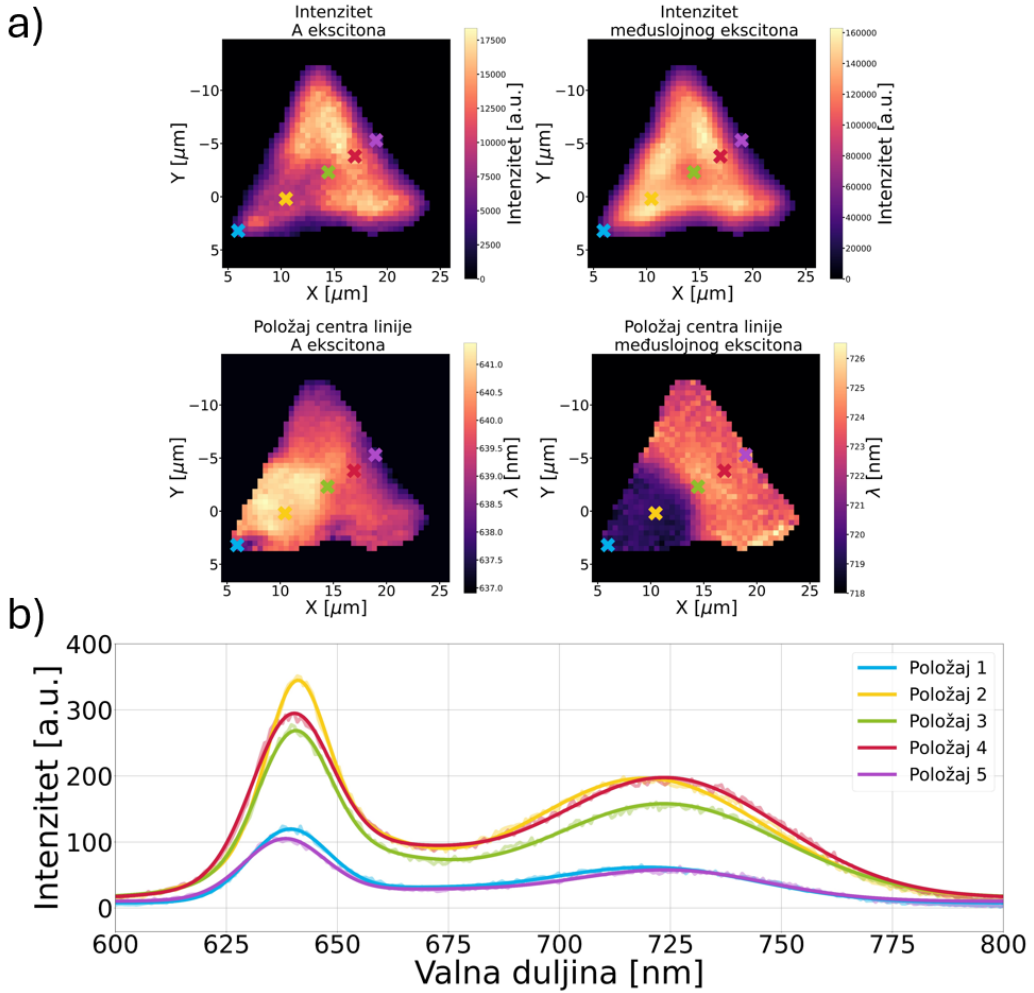
Sa Slika 4.9 i 4.10 i priložene Tablice 4.4 vidimo da nema značajne promijene razlika položaja centara linija  $E_{2g}^1(\Gamma)$  i  $A_{1g}(\Gamma)$  moda uzduž težišnica promatranih trokuta. Razlika iznosi  $\sim 66$  cm $^{-1}$  za Trokut 2 i  $\sim 65$  cm $^{-1}$  za Trokut 4 što je više od vrijednosti koju smo dobili za jednoslojeve ( $\sim 63$  cm $^{-1}$ ), što je u skladu s ponašanjem razlike položaja centara linija  $E_{2g}^1(\Gamma)$  i  $A_{1g}(\Gamma)$  modova s povećanjem broja slojeva TMD materijala [7, 16]. Na ovaj smo način, uz AFM mjerenja, ponovno potvrdili

debljine odabranih uzoraka. Sa Slika 4.9 i 4.10 vidimo da trokuti vrlo homogeni po položajima centara linija  $E_{2g}^1(\Gamma)$  i  $A_{1g}(\Gamma)$  moda što ukazuje da su dvosloji sintetizirani različitim koncentracijama prekursora (75 ppm i 100 ppm AMT-a) usporedive kvalitete što se tiče Ramanovog raspršenja. Iz Tablice 4.4 vidimo da je razlika između položaja centara linija  $X$  i  $Y$  moda  $\sim 20 \text{ cm}^{-1}$  za oba trokuta te navodimo da nismo uočili tendenciju promjene razlike položaja centara linija  $X$  i  $Y$  moda po težišnicama trokuta.



Slika 4.11: PL mape Trokuta 2: a) Mape intenziteta (gornji red) i položaja centra linije A ekscitona (donji red). b) PL spektri položaja označenih s 'x' na mapi pod a).

Usporedimo li PL amplitude intenziteta A ekscitona Trokuta 2 i 4 (Slike 4.11 i 4.12 [b], Tablica 4.5) s amplitudama intenziteta A ekscitona Trokuta 1 i 3 (Slike 4.7 i 4.8 [b], Tablica 4.3) vidimo da vrijednost padne za  $\sim 97\%$ . Kao što je već diskutirano u potpoglavlju 2.1.2, poznato je da 2D TMD materijali imaju prijelaz iz poluvodiča s direktnim energetskim procijepom (kod jednoslojeva) u poluvodič s indirektnim energetskim procijepom (za dvoslojeve i višeslojne materijale) što rezultira padom



Slika 4.12: PL mape Trokuta 4: a) Mape intenziteta (gornji red) i položaja centra linije A ekscitona (donji red). b) PL spektri položaja označenih s 'x' na mapi pod a).

amplitude emisije A ekscitona. Ovime smo provjerili i potvrdili ovaj prijelaz kod jednosloja i dvosloja WS<sub>2</sub>.

Na priloženim Slikama 4.11 i 4.12 [b] uočavamo blagi pad intenziteta A i međuslojnog ekscitona u centrima oba trokuta, pripadne pomake u crveno položaja centara linija A i međuslojnog ekscitona kod Trokuta 2, no ne uočavamo pomake položaja centara linija kod Trokuta 4. Usporedimo li ponovno centar (položaj 3) s referentnim položajem (položaj 4), za Trokut 2 primjećujemo pad amplitude A ekscitona za ~25%, pomak u crveno položaja centra linije za ~4.5 nm te blago povećanje FWHM za ~3 nm. Za Trokut 4 primjećujemo sličan pad amplitude od ~25%, ne vidimo pomak položaja centra linije u crveno (< 1 nm) te vidimo blago povećanje FWHM za ~2 nm. Ovi rezultati ponovno prate diskusiju o prisutnosti defekata u centru trokuta iz prijašnjeg potpoglavlja te ukazuju na korelaciju intenziteta X i Y Ramanovih modova (za koje pretpostavljamo da ovise o gustoći defekata) s promjenom intenziteta

emisije A ekscitona. Možemo pretpostaviti da manja količina defekata uzrokuje pad amplitude, dok veća količina defekata vodi da pada amplitude popraćen pomakom i širenjem emisijske linije A ekscitona, no za bilo kakve konkretne zaključke potrebna su daljnja preciznija mjerena na većem broju uzoraka (i jednoslojeva i dvosloja).

Tablica 4.5: Vrijednosti prilagodbe amplitude, položaja centra linije i FWHM A ekscitona odabranih položaja Trokuta 2 i 4.

		Ampl A eksc. [a.u.]	Polož. A eksc. [nm]	FWHM [nm]	Ampl. međusl. eks. [a.u.]	Polož. međusl. eks. [nm]	FWHM [nm]
Trokut 2	Položaj 1	160 ± 80	641 ± 1	19 ± 4	270 ± 30	726 ± 3	55 ± 7
	Položaj 2	500 ± 200	642.4 ± 0.9	19 ± 3	1200 ± 100	723 ± 2	63 ± 6
	Položaj 3	600 ± 300	645 ± 1	26 ± 4	1230 ± 10	730 ± 3	63 ± 5
	Položaj 4	800 ± 200	640.4 ± 0.7	23 ± 2	1700 ± 100	726 ± 2	61 ± 5
	Položaj 5	200 ± 100	640 ± 1	22 ± 5	360 ± 40	725 ± 3	55 ± 5
Trokut 4	Položaj 1	360 ± 80	639.0 ± 0.5	20 ± 2	520 ± 50	720 ± 3	58 ± 6
	Položaj 2	600 ± 200	640.7 ± 0.5	16 ± 2	1900 ± 100	719 ± 2	64 ± 4
	Položaj 3	600 ± 200	640.1 ± 0.7	19 ± 2	1500 ± 100	724 ± 2	62 ± 5
	Položaj 4	800 ± 200	639.6 ± 0.6	21 ± 2	1900 ± 100	724 ± 2	61 ± 4
	Položaj 5	300 ± 100	637.9 ± 0.09	52 ± 10	400 ± 100	725 ± 6	50 ± 10

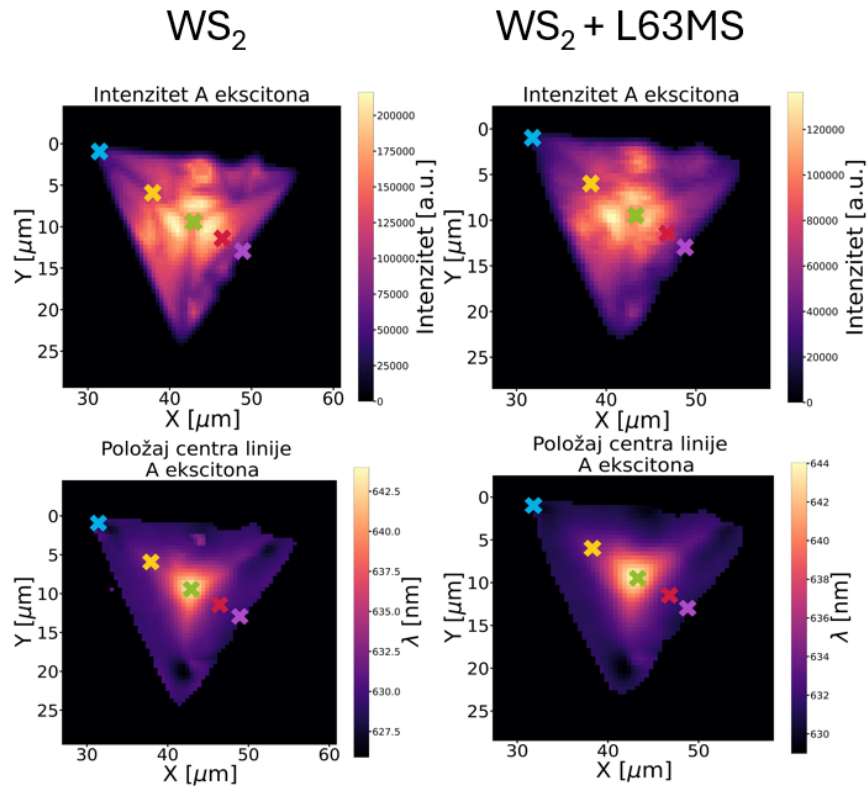
Pogledamo li ponovno Slike 4.11 i 4.12 [b], primjetit ćemo postojanje distinktnih zona na jednom vrhu trokuta (na oba trokuta) na kojima dolazi do pada intenziteta i očitog pomaka u crveno položaja centara linija A ekscitona (u ovom slučaju ne razmatramo najveći centralni pomak kod Trokuta 2 koji smo već opisali). Usporedimo li položaje 2 i 4, primjetit ćemo da ove pomake prati i sužavanje emisijskih linija (FWHM) A ekscitona za  $\sim 4$  nm za Trokut 2 i  $\sim 5$  nm za Trokut 4. S obzirom na to da ovaj efekt nije prisutan kod jednoslojnih trokuta, a primjećujemo ga u oba dvoslojna trokuta, pretpostavljamo da je uzrokovan promjenom u interakciji dva sloja u tim specifičnim zonama. Ovo je potkrijepljeno i ponašanjem međuslojnog eksitona. Sa Slike 4.11 i 4.12 [a] vidimo da postoji komplementarnost u zonama između pomaka u crveno položaja centra linije A eksitona i pomaka u plavo položaja centra linije međuslojnog eksitona (ponovno zanemarujući centar Trokuta 2 gdje vidimo pomak u crveno položaja međuslojnog eksitona koji je, po prijašnjim diskusijama, najvjerojatnije uzrokovan već spomenutim defektima u centru trokuta). Uspoređujući položaje 2 i 4 iz Tablice 4.5, vidimo da se, za Trokut 2, amplituda intenziteta međuslojnog eksitona smanji za  $\sim 30\%$ , položaj centra linije pomakne za  $\sim 3$  nm u plavo te da se FWHM poveća za  $\sim 2$  nm, dok, za Trokut 4, amplituda ostane ista, položaj centra linije pomakne za  $\sim 5$  nm u plavu te FWHM poveća za  $\sim 3$  nm. Poznato je da interakcija između slojeva utječe na strukturu energetskih vrpcí što rezultira drugaćijim optičkim odzivom (npr. prijelaz između poluvodiča s indirektnim, za dvosloje, u poluvodič s direktnim prijelazom, za jednoslojeve) što vodi na pretpostavku da su uočene komplementarne promijene A i međuslojnog eksitona potpis

drugačije interakcije između dva sloja u spomenutim zonama. S obzirom na to da se efekt pojavljuje na oba uzorka sintetiziranih različitim koncentracijama prekursora te, kako se zone u oba slučaja nalaze na jednom vrhu trokuta, pretpostavljamo da su, prilikom sinteze, slojevi međusobno bolje ili lošije srasli samo na tim vrhovima te da je efekt neovisan o koncentraciji korištenih prekursora.

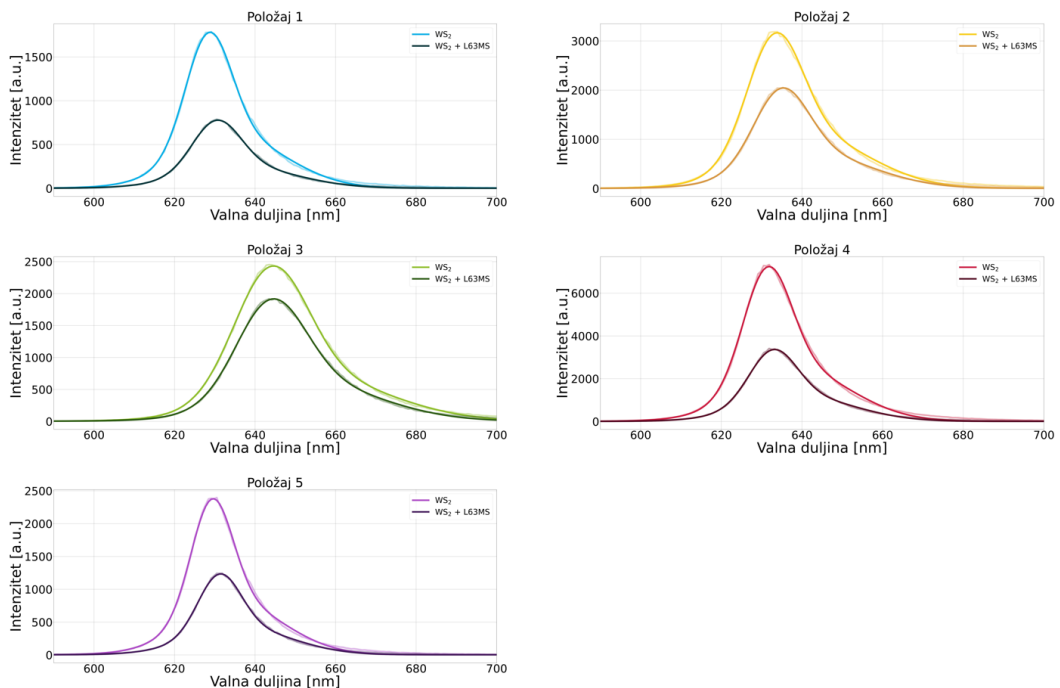
### 4.3 Modifikacija optičkih svojstava

U svrhu istraživanja funkcionalizacije 2D WS<sub>2</sub> adsorpcijom L63MS molekula, odlučili smo se za proučavanje dva monokristalna jednosloja sintetizirana koristeći koncentraciju prekursora od 100 ppm AMT-a i 5 ppm NaOH. Odlučili smo za promatranje jednoslojeva s obzirom na to da je njihov PL signal znatno jači od PL signala dvosloja (poluvodič s direktnim procijepom), što nam olakšava opažanje manjih promjena utjecaja molekula na PL odziv uzorka. Korišteni su uzorci sintetizirani većom koncentracijom prekursora zato što su dobiveni monokristalni jednoslojevi većih lateralnih dimenzija (u usporedbi s uzorcima sintetiziranih nižom koncentracijom prekursora), što rezultira većom površinom koju možemo funkcionalizirati adsorpcijom organskih molekula. U svrhu samoprovjere te određene validacije rezultata, odlučili smo se za ispitivanje dva monokristalna jednosloja koja ćemo označivati Trokut 5 i 6. Na Slikama 4.13 i 4.15 prikazane su optičke PL mape intenziteta i položaja centara linija A ekscitona prije (lijevi stupac) i poslije funkcionalizacije L63MS molekulama (desni stupac) Trokuta 5 i 6. Na Slikama 4.14 i 4.16 prikazani su spektri odgovarajućih položaja prije i poslije funkcionalizacije radi jasnoće prikaza.

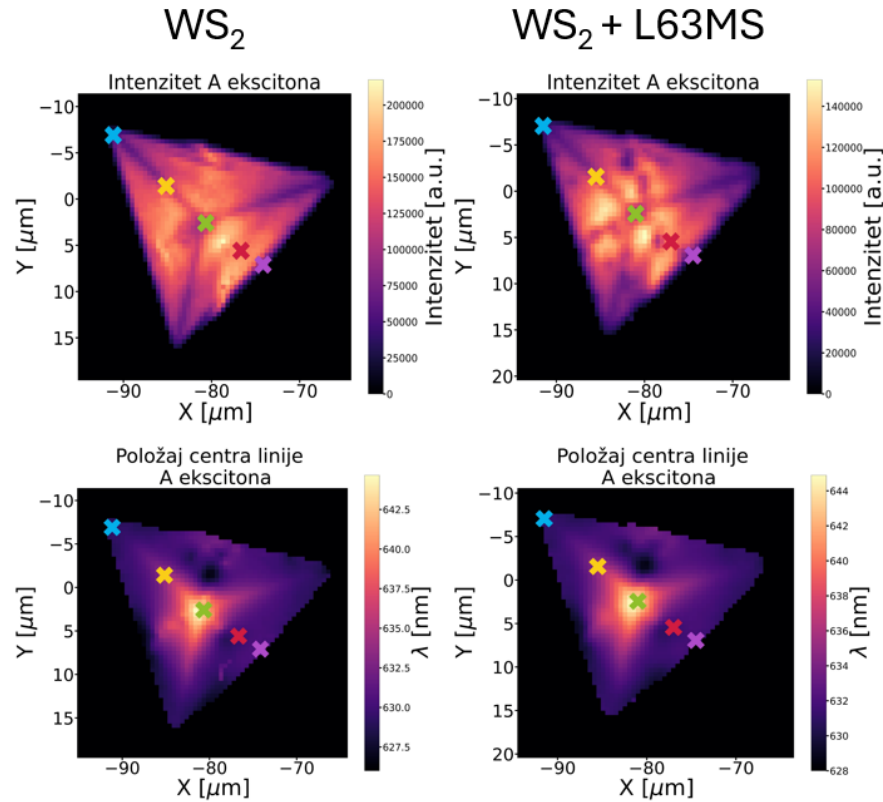
Na optičkim PL mapama intenziteta A ekscitona (Slika 4.13 i 4.15) vidimo očitu razliku između mjerjenja signala čistog WS<sub>2</sub> i nakon modifikacije L63MS molekulama. Primjećujemo globalni pad intenziteta kod oba trokuta te vidimo pojavu novih značajki na Trokuta 6 koje, najvjerojatnije, indiciraju područja veće koncentracije deponiranih molekula radi neravnina ili defekata na površini kristala. Promijene su očitije na Slikama 4.14 i 4.15. S obzirom na to da vidimo usporedive padove amplituda i pomake položaja centara linija A ekscitona u crveno na svim položajima, u nastavku ćemo razmotriti srednje vrijednosti svih prikazanih položaja za oba trokuta. Usrednjavanjem podataka iz Tablice 4.6 dobivamo pad amplitude od  $(44.0 \pm 0.2)\%$  i pomak u crveno položaja centra linije od  $(1.37 \pm 0.02)$  nm za Trokut 5 te pad ampli-



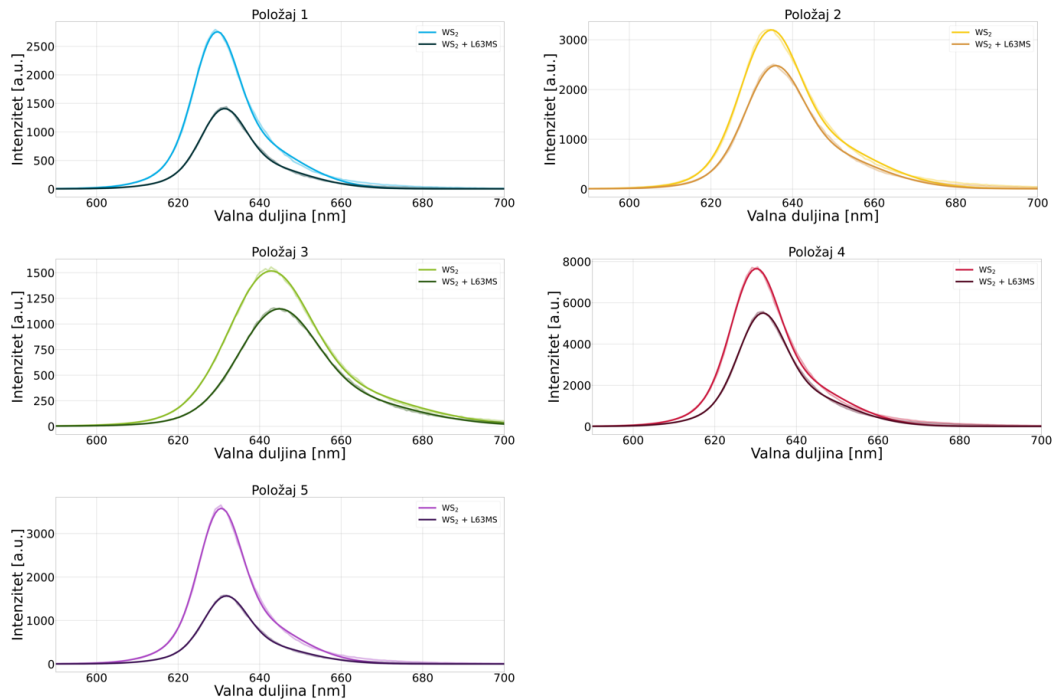
Slika 4.13: Optičke PL mape Trokuta 5: Mape intenziteta i položaja centra linije A ekscitona jednosloja  $WS_2$  prije funkcionalizacije (lijevi stupac) i poslije funkcionalizacije L63MS organskim molekulama (desni stupac).



Slika 4.14: Trokut 5: PL spektri označenih položaja ('x') na Slici 4.13 prije i poslije funkcionalizacije L63MS organskim molekulama.



Slika 4.15: Optičke PL mape Trokuta 6: Mape intenziteta i položaja centra linije A ekscitona jednosloja  $WS_2$  prije funkcionalizacije (lijevi stupac) i poslije funkcionalizacije L63MS organskim molekulama (desni stupac).



Slika 4.16: Trokut 6: PL spektri označenih položaja ('x') na Slici 4.15 prije i poslije funkcionalizacije L63MS organskim molekulama.

tude od  $(37.9 \pm 0.4)\%$  i pomak u crveno položaja centra linije od  $(1.43 \pm 0.06)$  nm za Trokut 6. Također, iz Tablice 4.6 je evidentno da nema značajne promjene FWHM. Vidimo da su dobivene vrijednosti pada amplitude intenziteta i pomaka položaja centra linije A ekscitona usporedive u oba slučaja što vodi na zaključak da je to direktna posljedica interakcije jednosloja WS<sub>2</sub> sa slojem adsorbiranih molekula L63MS. Napominjemo da je opaženi pomak položaja centra linija A ekscitona na granici rezolucije korištenog uređaja ( $\sim 1$  nm) te da su potrebna buduća, preciznija mjerena kako bi se sa sigurnošću potvrdio utjecaj adsorpcije L63MS molekula na položaj centra linije A ekscitona kod monokristalnog jednosloja WS<sub>2</sub>. Kod funkcionalizacije MoS<sub>2</sub> istom metodom, uočen je porast amplitude A ekscitona, promjena omjera A/B ekscitona te pomak položaja centra linije A ekscitona s  $(680 \pm 1)$  nm na  $(688 \pm 1)$  nm [35]. Ovo vodi na zaključak da je utjecaj L63MS molekula na optička svojstva materijala različit ovisno o materijalu na koji se molekule adsorbiraju. Iako je izmjereni pomak mali, sama činjenica da su padovi amplituda usporedivi kod oba trokuta potvrđuje da smo uspjeli promijeniti optička svojstva jednosloja WS<sub>2</sub> adsorpcijom L63MS organskih molekula.

Tablica 4.6: Vrijednosti prilagodbe amplitude, položaja centra linije i FWHM A ekscitona odabranih položaja Trokuta 5 i 6 prije i poslije funkcionalizacije.

		WS <sub>2</sub>			WS <sub>2</sub> +L63MS		
		Ampl. A eksc. [a.u.]	Polož. A eksc. [nm]	FWHM [nm]	Ampl. A eksc. [a.u.]	Polož. A eksc. [nm]	FWHM [nm]
Trokut 5	Položaj 1	$2900 \pm 26$	$628.40 \pm 0.02$	$13.37 \pm 0.06$	$1340 \pm 10$	$630.36 \pm 0.02$	$14.05 \pm 0.06$
	Položaj 2	$6380 \pm 80$	$633.20 \pm 0.03$	$16.16 \pm 0.09$	$4030 \pm 40$	$634.78 \pm 0.03$	$15.98 \pm 0.08$
	Položaj 3	$6900 \pm 60$	$643.86 \pm 0.03$	$21.46 \pm 0.09$	$4980 \pm 50$	$643.88 \pm 0.03$	$20.24 \pm 0.09$
	Položaj 4	$12400 \pm 100$	$631.3 \pm 0.1$	$13.99 \pm 0.07$	$5610 \pm 60$	$632.72 \pm 0.02$	$13.84 \pm 0.07$
	Položaj 5	$3460 \pm 30$	$629.25 \pm 0.02$	$12.10 \pm 0.06$	$1840 \pm 20$	$631.11 \pm 0.02$	$12.42 \pm 0.06$
Trokut 6	Položaj 1	$4140 \pm 40$	$629.18 \pm 0.02$	$12.46 \pm 0.06$	$2130 \pm 20$	$631.0 \pm 0.01$	$12.55 \pm 0.02$
	Položaj 2	$6610 \pm 80$	$635.6 \pm 0.1$	$16.5 \pm 0.1$	$4930 \pm 60$	$635.22 \pm 0.03$	$16.04 \pm 0.09$
	Položaj 3	$4650 \pm 40$	$642.12 \pm 0.3$	$22.87 \pm 0.09$	$3290 \pm 30$	$644.16 \pm 0.03$	$21.09 \pm 0.09$
	Položaj 4	$12700 \pm 100$	$629.73 \pm 0.02$	$13.45 \pm 0.07$	$8770 \pm 80$	$631.36 \pm 0.02$	$13.16 \pm 0.06$
	Položaj 5	$5190 \pm 50$	$630.26 \pm 0.02$	$11.93 \pm 0.05$	$2310 \pm 20$	$631.52 \pm 0.02$	$12.15 \pm 0.05$

Kod modifikacije optičkih svojstava 2D materijala, potrebno je spomenuti da je optički odziv moguće podešavati kontroliranim uvođenjem defekata u kristalnu rešetku (stvaranjem legura s drugima metalima ili uvođenjem vakancija) [43]. Kao što smo se uvjerili u prijašnjim poglavljima, uzorci koje smo promatrali imaju drugačiji optički odziv u centru naspram ostatka uzorka što pripisujemo nekontroliranom uvođenju defekata prilikom sinteze samih uzoraka. Modifikacije optičkih svojstava kontroliranim uvođenjem određene količina defekata, mijenjanjem parametara sinteze ili implantiranjem ionskim snopom, uz modifikacije adsorpcijom različitih organskih molekula, omogućile bi jednostavniju implementaciju 2D WS<sub>2</sub> u buduće znanstvene

i tehnološke svrhe.

## 5 Zaključak

U ovom smo radu proučili i modificirali svojstva CVD sintetiziranog WS<sub>2</sub>. Opisali smo postupak sinteze za koncentracije tekućeg prekursora koje su rezultirale zadovoljavajućim gustoćama rasta i lateralnih dimenzija trokuta - 75 ppm AMT-a i 5 ppm NaOH te 100 ppm AMT-a i 5 ppm NaOH. Opisali smo morfologiju rasta za obje koncentracije te smo ustanovili da je za nižu koncentraciju rast rjeđi uz manju lateralnu dimenziju trokuta ( $5\text{-}15 \mu\text{m}$ ), dok je za višu koncentraciju rast gušći uz veću lateralnu dimenziju trokuta ( $15\text{-}30 \mu\text{m}$ ). AFM mjerjenjima smo utvrdili visine jednog jednosloja i jednog dvosloja po koncentraciji za daljnja optička mjerjenja. TEM mjerjenjima na jednom monokristalnom jednosloju, sintetiziranog koristeći koncentraciju prekursora 75 ppm AMT-a i 5 ppm NaOH, ustanovili smo postojanje veće gustoće defekata u centru u usporedbi s rubovima trokuta. Ove defekte pripisujemo postupku sinteze i parametrima rasta. Ramanovim smo mjerjenjima utvrdili da su sintetizirani uzorci zapravo WS<sub>2</sub> te smo uočili postojanje dva dodatna moda ( $X$  i  $Y$ ) u centrima trokuta koja pripisujemo defektima u kristalnoj rešetci. Mjerenjem razlike frekvencija  $E_{2g}^1(\Gamma)$   $A_{1g}(\Gamma)$  potvrđili smo debljine promatranih trokuta koje smo izmjerili pomoću AFM-a. Mjerjenjima PL-a jednosloja i dvosloja potvrđili smo prijelaz 2D WS<sub>2</sub> iz poluvodiča s direktnim energetskim procijepom (za jednoslojeve) u poluvodič s indirektnim energetskim procijepom (za dvosloje). Uočili smo pad intenziteta i pomak u crveno položaja centra linije A ekscitona u centrima trokuta koja povezujemo s već spomenutim defektima. Specifično za dvosloje, primjetili smo postojanje specifične zone na jednom rubu trokuta (na oba trokuta) u kojem opažamo pad intenziteta i pomak u crveno položaja centra linije A ekscitona koji je popraćeni komplementarnim pomakom u plavo položaja centra linije međuslojnog ekscitona. Ove promjene pripisujemo različitim međainterakcijama dva sloja u tim zonama koje su najvjerojatnije rezultat postupka sinteze i parametara rasta dvosloja. Na kraju smo modificirali optička svojstva dva jednosloja, sintetizirana višom koncentracijom prekursora, upotrebom L63MS organskih molekula (0.5% vodene otopine molekula razrijeđene u 99.5% izopropanola, uz koncentraciju molekula u završnoj otopini od 42.6 ppm). PL mjerjenjima, prije i poslije modifikacija, primjetili smo padove amplituda intenziteta A ekscitona od  $(44.0 \pm 0.2)\%$  i  $(37.9 \pm 0.4)\%$  te pomake u crveno položaja centara linija od  $(1.37 \pm 0.02)$  nm i  $(1.43 \pm 0.06)$  nm nakon modifikacija.

Kako su promijene kod oba trokuta usporedive, zaključujemo da su uzrokovane adsorbiranim L63MS molekulama. Ovime smo pokazali mogućnost promijene optičkih svojstava jednosloja WS<sub>2</sub> jednostavnom metodom adsorpcijom organskih molekula.

Daljnja bi se istraživanja mogla usmjeriti na poboljšanje sinteze radi eliminacije prisutnih nepoželjnih defekata ili na kontrolirano uvođenje defekata u kristalnu rešetku mijenjanjem parametara sinteze, stvaranjem legura s drugim prijelaznim metalima ili uvođenjem defekata ionskim snopom. Modificiranje optičkih svojstva adsorpcijom organskih molekula može ići u smjeru vremenske i temperaturne stabilnosti promjena ili ispitivanja utjecaja drugih organskih molekula i njihovih koncentracija. Unaprjeđenje sinteze u svrhu dobivanja kvalitetnih uzoraka na velikoj skali i istraživanje novih metoda modifikacija optičkih svojstava 2D TMD materijala omogućilo bi jednostavniju i efikasniju implementaciju 2D WS<sub>2</sub> u buduće znanstvene i tehnološke svrhe.

## Literatura

- [1] Matteo Bosi. Growth and synthesis of mono and few-layers transition metal dichalcogenides by vapour techniques: a review. *RSC Advances*, 5(92):75500–75518, 2015.
- [2] Sujay B Desai, Surabhi R Madhvapathy, Angada B Sachid, Juan Pablo Llinas, Qingxiao Wang, Geun Ho Ahn, Gregory Pitner, Moon J Kim, Jeffrey Bokor, Chenming Hu, et al. Mos2 transistors with 1-nanometer gate lengths. *Science*, 354(6308):99–102, 2016.
- [3] Andre K Geim and Konstantin S Novoselov. The rise of graphene. *Nature materials*, 6(3):183–191, 2007.
- [4] It's still all about graphene. *Nature Materials*, 10, 2011.
- [5] Thomas Mueller and Ermin Malic. Exciton physics and device application of two-dimensional transition metal dichalcogenide semiconductors. *npj 2D Materials and Applications*, 2(1):29, 2018.
- [6] Aleksandr Rodin. Two-dimensional semiconductor transition metal dichalcogenides: basic properties. In *2D Semiconductor Materials and Devices*, pages 1–23. Elsevier, 2020.
- [7] P.H. Tan. *Raman Spectroscopy of Two-Dimensional Materials*. Springer Series in Materials Science. Springer Nature Singapore, 2018.
- [8] Xin Lu, Xin Luo, Jun Zhang, Su Ying Quek, and Qihua Xiong. Lattice vibrations and raman scattering in two-dimensional layered materials beyond graphene. *Nano Research*, 9:3559–3597, 2016.
- [9] Andrea Splendiani, Liang Sun, Yuanbo Zhang, Tianshu Li, Jonghwan Kim, Chi-Yung Chim, Giulia Galli, and Feng Wang. Emerging photoluminescence in monolayer mos2. *Nano letters*, 10(4):1271–1275, 2010.
- [10] Said Rahimzadeh Kalaleh Rodriguez. Coupling light and matter in metallic nanoparticle arrays. 2014.
- [11] Neil W Ashcroft and N David Mermin. Solid state physics, 2022.

- [12] Jacopo Bertolotti. <https://en.wikipedia.org/wiki/Phonon>.
- [13] JL Verble and TJ Wieting. Lattice mode degeneracy in mo s 2 and other layer compounds. *Physical review letters*, 25(6):362, 1970.
- [14] Parviz Hajiyev, Chunxiao Cong, Caiyu Qiu, and Ting Yu. Contrast and raman spectroscopy study of single-and few-layered charge density wave material: 2h-tase2. *Scientific reports*, 3(1):1–6, 2013.
- [15] Georg S Duesberg Oliver Hartwig. <https://analyticalscience.wiley.com/content/article-do/raman-spectroscopy-stacked-2d-materials>.
- [16] Fang Liang, Hejun Xu, Xing Wu, Chaolun Wang, Chen Luo, and Jian Zhang. Raman spectroscopy characterization of two-dimensional materials. *Chinese Physics B*, 27(3):037802, 2018.
- [17] Alexey Chernikov, Timothy C Berkelbach, Heather M Hill, Albert Rigosi, Yilei Li, Burak Aslan, David R Reichman, Mark S Hybertsen, and Tony F Heinz. Exciton binding energy and nonhydrogenic rydberg series in monolayer ws 2. *Physical review letters*, 113(7):076802, 2014.
- [18] Andreas V Stier, Kathleen M McCreary, Berend T Jonker, Junichiro Kono, and Scott A Crooker. Exciton diamagnetic shifts and valley zeeman effects in monolayer ws2 and mos2 to 65 tesla. *Nature communications*, 7(1):10643, 2016.
- [19] M. Fox. *Optical Properties of Solids*. Oxford Master Series in Physics. OUP Oxford, 2010.
- [20] Kathleen M McCreary, Aubrey T Hanbicki, Saujan V Sivaram, and Berend T Jonker. A-and b-exciton photoluminescence intensity ratio as a measure of sample quality for transition metal dichalcogenide monolayers. *Apl Materials*, 6(11), 2018.
- [21] Aleksandr Rodin, Maxim Trushin, Alexandra Carvalho, and AH Castro Neto. Collective excitations in 2d materials. *Nature Reviews Physics*, 2(10):524–537, 2020.
- [22] Carmen Palacios-Berraquero. *Quantum confined excitons in 2-dimensional materials*. Springer, 2018.

- [23] Qiang Li, Qionghua Zhou, Li Shi, Qian Chen, and Jinlan Wang. Recent advances in oxidation and degradation mechanisms of ultrathin 2d materials under ambient conditions and their passivation strategies. *Journal of Materials Chemistry A*, 7(9):4291–4312, 2019.
- [24] Adam R Brill, Elad Koren, and Graham de Ruiter. Molecular functionalization of 2d materials: from atomically planar 2d architectures to off-plane 3d functional materials. *Journal of Materials Chemistry C*, 9(35):11569–11587, 2021.
- [25] Josip Bajo. Optička karakterizacija dihalkogenida prijelaznih metala u svojstvu poboljšanja parametara sinteze. Master’s thesis, University of Zagreb. Faculty of Science. Department of Physics, 2020.
- [26] Ana Senkić, Josip Bajo, Antonio Supina, Borna Radatović, and Nataša Vujičić. Effects of cvd growth parameters on global and local optical properties of mos2 monolayers. *Materials chemistry and physics*, 296:127185, 2023.
- [27] Peter Eaton and Paul West. *Atomic force microscopy*. Oxford university press, 2010.
- [28] NanoAndMore USA. <https://www.nanoandmore.com/what-is-atomic-force-microscopy>.
- [29] Brent Fultz and James M Howe. *Transmission electron microscopy and diffractometry of materials*. Springer Science & Business Media, 2012.
- [30] Technology Networks. <https://www.technologynetworks.com/analysis/articles/sem-vs-tem-331262>.
- [31] Vineeta Rai and Nrisingha Dey. The basics of confocal microscopy. *Laser scanning, theory and applications*, pages 75–96, 2011.
- [32] Encyclopaedia Britannica. <https://www.britannica.com/technology/microscope/Confocal-microscopes>.
- [33] Ewen Smith and Geoffrey Dent. *Modern Raman spectroscopy: a practical approach*. John Wiley & Sons, 2019.
- [34] Li Lin, Xinyuan Bi, Yuqing Gu, Fu Wang, and Jian Ye. Surface-enhanced raman scattering nanotags for bioimaging. *Journal of Applied Physics*, 129(19), 2021.

- [35] Antun Lovro Brkić, Antonio Supina, Davor Čapeta, Lucija Dončević, Lucija Ptiček, Šimun Mandić, Livio Racané, and Ida Delač. Influence of solvents and adsorption of organic molecules on the properties of cvd synthesized 2d mos2. *Nanomaterials*, 13(14):2115, 2023.
- [36] Chunxiao Cong, Jingzhi Shang, Xing Wu, Bingchen Cao, Namphung Peimyoo, Caiyu Qiu, Litao Sun, and Ting Yu. Synthesis and optical properties of large-area single-crystalline 2d semiconductor ws2 monolayer from chemical vapor deposition. *Adv. Opt. Mater.*, 2(2):131–136, 2014.
- [37] Humberto R Gutiérrez, Nestor Perea-López, Ana Laura Elías, Ayse Berkdemir, Bei Wang, Ruitao Lv, Florentino López-Urías, Vincent H Crespi, Humberto Terrones, and Mauricio Terrones. Extraordinary room-temperature photoluminescence in triangular ws2 monolayers. *Nano letters*, 13(8):3447–3454, 2013.
- [38] Kyle Godin, Christian Cupo, and Eui-Hyeok Yang. Reduction in step height variation and correcting contrast inversion in dynamic afm of ws2 monolayers. *Scientific reports*, 7(1):17798, 2017.
- [39] Seon Kyeong Kang and Hyun Seok Lee. Study on growth parameters for monolayer mos2 synthesized by cvd using solution-based metal precursors. *Applied Science and Convergence Technology*, 28(5):159–163, 2019.
- [40] Rajarshi Roy, Sarthak Das, Nilesh Mazumder, Dipayan Roy, and Kalyan K Chatopadhyay. Observation of polarization dependent excitonic luminescence in few-layered ws2 flakes. *Chemical Physics Letters*, 781:139012, 2021.
- [41] Shoujun Zheng, Linfeng Sun, Xiaohao Zhou, Fucai Liu, Zheng Liu, Zexiang Shen, and Hong Jin Fan. Coupling and interlayer exciton in twist-stacked ws2 bilayers. *Advanced Optical Materials*, 3(11):1600–1605, 2015.
- [42] Wu Zhou, Xiaolong Zou, Sina Najmaei, Zheng Liu, Yumeng Shi, Jing Kong, Jun Lou, Pulickel M Ajayan, Boris I Yakobson, and Juan-Carlos Idrobo. Intrinsic structural defects in monolayer molybdenum disulfide. *Nano letters*, 13(6):2615–2622, 2013.

- [43] Ana Senkić. *Microscopic investigation of intrinsic defects in transition metal dichalcogenide monolayers grown by chemical vapour deposition*. PhD thesis, University of Rijeka. Faculty of Physics, 2024.
- [44] Ana Senkić, Antonio Supina, Mert Akturk, Christoph Gadermaier, Margherita Maiuri, Giulio Cerullo, and Nataša Vujičić. Microscopic investigation of intrinsic defects in cvd grown mos<sub>2</sub> monolayers. *Nanotechnology*, 34(47):475705, 2023.

## 6 Sažetak

Livio Žužić

# Poluvodički dvodimenzionalni WS<sub>2</sub>: od sinteze i karakterizacije do funkcionalizacije

Dvodimenzionalni (2D) poluvodički dihalkogenidi prijelaznih metala (TMD) posljednjih su godina privukli veliku pozornost znanstvene zajednice zahvaljujući svojim izvanrednim optoelektroničkim svojstvima. Kemijska depozicija para (CVD) pokazala se kao obećavajuća tehnika sintetiziranja visokokvalitetnih TMD uzoraka na velikoj skali, no kontrolirana sinteza visokokvalitetnih TMD jednoslojeva niskih količina defekata i dalje predstavlja veliki izazov znanstvenoj zajednici te koči njihovo usvajanje u tehnološku primjenu. U ovom ćemo radu proučiti svojstva CVD sintetiziranog 2D WS<sub>2</sub> (jednog od predstavnika TMD materijala) za različite koncentracije korištenog prekursora. Mikroskopom atomskih sila (AFM), transmisijskim elektronskim mikroskopom (TEM) i optičkim mikroskopom istražit ćemo morfologiju uzoraka i koncentraciju defekata, dok ćemo Ramanovom spektroskopijom i mjerljem fotoluminiscencije (PL) istražiti optički odziv jednoslojeva i dvosloja CVD sintetiziranog WS<sub>2</sub>. Za kraj, istražujemo utjecaj adsorpcije organskih molekula eng. 6-(4,5-Dihydro-1H-imidazol-3-ium-2-yl)-2-(naphthalene-2-yl)benzothiazole methanesulfonate (L63MS) na PL odziv jednoslojeva WS<sub>2</sub>.

**Ključne riječi:** 2D TMD materijali, WS<sub>2</sub>, CVD sinteza, morfološka i optička karakterizacija, funkcionalizacija adsorpcijom organskih molekula

## 7 Summary

Livio Žužić

# Semiconducting two-dimensional WS<sub>2</sub>: from synthesis and characterization to functionalization

Two-dimensional (2D) semiconducting transition metal dichalcogenides (TMDs) have attracted significant attention from the scientific community in recent years due to their outstanding optoelectronic properties. Chemical vapor deposition (CVD) has proven to be a promising technique for synthesizing high-quality TMD samples on a large scale, but the controlled synthesis of high-quality TMD monolayers with low amounts of defects still represents a great challenge to the scientific community and hinders their adoption for technological application. In this work we study the properties of CVD synthesized 2D WS<sub>2</sub> (one of the representatives of TMD materials) for different concentrations of the used precursor. Atomic force microscope (AFM), transmission electron microscope (TEM), and optical microscope are used to investigate sample morphology and defect concentration, while Raman spectroscopy and photoluminescence (PL) measurements are used to investigate the optical properties of CVD grown monolayers and bilayers. Finally, we investigate the influence of the adsorption of *6-(4,5-Dihydro-1H-imidazol-3-ium-2-yl)-2-(naphthalen-2-yl)benzothiazole methanesulfonate* (L63MS) organic molecules on the PL response of WS<sub>2</sub> monolayers.

**Keywords:** 2D TMD materials, WS<sub>2</sub>, CVD synthesis, morphological and optical characterization, functionalization by adsorption of organic molecules